

## ເອກສາຣ໌ຂ້າງຂຶ້ນ

AHFS drug information : The most comprehensive authoritative source of evaluation drug information.

MD. USA : American Society of Hospital Pharmacist,  
1989.

Ali, S.L. Phenylbutazone. Analytical profile of drug substances. 11(1982) : 483-521.

Avgerinos, A. and Hutt, A.J. High-performance liquid chromatographic determination of ibuprofen in human plasma and urine by direct injection. J. Chromatogr. 380(1986) : 468-471.

\_\_\_\_\_ and Malamataris, S. High-performance liquid chromatographic determination of indomethacin in human plasma and urine. J. Chromatogr. 495(1989) : 309-313.

Bauza, M.T., Lesser, C.L., Johnston, J.T. and Smith, R.V. Comparison of extraction and precipitation methods for the HPLC determination of furosemide in plasma and urine. J. Pharm. Biomed. Anal. 3(1985) : 459-467.

Berkman, S. Tungstic acid precipitation of blood protein.

J. Biol. Chem. 173(1953) : 937-942.

Bickel, M.H. Binding of chlorpromazine and imipramine to red cells, albumin, lipoproteins and other blood components. J. Pharm. and Pharmacol. 27(1975) : 733-738.

Birkett, D.J., et al. Fluorescent probe studies of albumin binding sites. Acta Pharmaceutica Suecica 17(Mar. 1980) : 78.

Blanchard, J. Evaluation of the relative efficacy of various techniques for deproteinizing plasma samples prior to HPLC analysis. J. Chromatogr. 226(1981) : 455-460.

Brigg, R.D. The metaphosphoric acid-protein reaction.

J. Biol. Chem. 134(1940) : 261-272.

Bruke, T., et al. High-pressure liquid chromatography assay for chloramphenicol, chloramphenical-3-monosuccinate and chloramphenical-1-monosuccinate. J. Pharm. Sci. 69(Aug. 1980) : 909-912.

Burke, J.T. and Thenot, J.P. Drug monitoring in antiepileptic drugs. J. Chromatogr. 240(1985) : 199-241.

Bury, R.W. Liquid chromatographic assay of isoxicam in human plasma and urine. J. Chromatogr. 337(1985) : 156-159.

Bye, A. and Brown, M.E. An analytical approach to the quantitation of known drugs in human biological sample by HPLC. J. Chromatogr. Sci. 15(1977) : 365-371.

Chan, K.K.H., Vyes, K.H. and Brandt, K.D. In vitro protein binding of diclofenac sodium in plasma and synovial fluid. J. Pharm. Sci. 76(Feb. 1987) : 105-108.

Chen, M.L. and Chiou, W.L. Sensitivity and rapid high-performance liquid chromatographic method for the simultaneous determination of methotrexate and its metabolites in plasma, saliva and urine. J. Chromatogr. 226(1981) : 125-134.

Chignell, C.F. Optical studies of drug-protein complexes II: Interaction of phenylbutazone and its analogues with human serum albumin. Mol. Pharmacol. 5(Feb. 1969) : 244-252.

- \_\_\_\_\_. Optical studies of drug-protein complexes III : Interaction of flufenamic acid and other N-arylanthranilates with serum albumin. Mol. Pharmacol. 5(Apr. 1969) : 455-462.
- \_\_\_\_\_. A Critical evaluation of the technique available for measuring drug-protein binding. Acta Pharmaceutica Suecica 17(Mar. 1980) : 71.
- \_\_\_\_\_. In E.R. Garret and J.L. Hirz (eds.) Drug fate and metabolism. p.187 New York:M.Dekker, 1977.
- Clarks's isolation and identification of drugs. 2nd ed. London : The Pharmaceutical Press, 1986.
- Danon, A. and Chen, E. Binding of imipramine to plasma proteins : Effect of hyperlipoproteinemia. Clin. Pharmacol. and Ther. 25(1979) : 316-321.
- Dusci, L.J. and Hackett, L.P. Determination of some anti-inflammatory drugs in serum by high-performance liquid chromatography. J. Chromatogr. 172(1979): 516-519.

Eksberg, S. and Ehrsson, H. Determination of anthraquinone glycosides in plasma by high-performance liquid chromatography. J. Pharm. Biomed. Anal. 2(1985) : 297-303.

Frank, P.W. The plasma protein. vol.3 2nd ed. New York : Academic Press, 1977.

Goldstein, A. The interaction of drugs and plasma protein. Pharmacol. Rev. 1(1949) : 102-165.

Grahame-Smith, D.G. and Aronson, J.K. Oxford textbook of clinical pharmacology and drug therapy. Oxford : Oxford University Press, 1984.

Greenwald, I. The estimation of non-protein nitrogen in blood. J. Biol. Chem. 21(1915) : 61-68.

Guermouche, S., Guermouche, M.H., Mansouri, M. and Abed, L. Determination of furosemide in rat plasma using HPLC and liquid scintillation. J. Pharm. Biomed. Anal. 3(1985) : 453-458.

Heide, K., Haupt, H. and Schwick, H.G. Plasma protein fractionation. In F.W. Putnam (ed.), The plasma protein, pp. 545-587. New York : Academic Press, 1977.

Henry, R.J. Clinical chemistry : Principles and technics.  
New York : Hoeber Medical Division, 1964.

Holden, R.L. A modification of the Folin-Wu method for  
making protein-free blood filtrates. J.Biol.Chem.  
56(1923) : 469-471.

Johnson, R. and Bhattacharyya, G. Statistic : Principles  
and methods. New York : John Wiley&Son, 1987.

Kiang, C-H., Lee, P.C. and Kushinsky, s. High-performance  
liquid chromatographic determination of 6-desmethyl-  
naproxen sulfate in human plasma. J. Chromatogr.  
383(1986) : 449-455.

Knoben, J.E. and Anderson, P.O., eds. Handbook of clinical  
drug data. 6th ed. Hamilton : Hamilton Press, 1989.

Koch, F.C. and Hanke, M.E. Protein. In F.C. Koch and M.E.  
Hanke (eds.), Practical method in biochemistry,  
pp. 61-67. Baltimore : Williams-Wilkins, 1953.

Koch-Weser, J. and Seller, E.M. Binding of drug to serum  
albumin. (First of the two parts). New England  
Journal of Medicine. 294(Fed. 1976) : 311-316.

La Du, B.N., et al. Protein binding. In N.L.D.Bert, H.G. Mandel and E.L. Way (eds.), Fundamental of drug metabolism and drug distribution, pp. 63-75. Baltimore : William-Wilkins, 1971.

Lankelma, J. and Poppe, H. Determination of methotrexate in plasma by on-column concentration and ion-exchange chromatography. J.Chromatogr. 149(1978) : 587-598.

Law, B. and Chan, P.F. The selection of buffer salts for the high-performance liquid chromatography of basic compound. J.Pharm.Biomed. Anal. 9(1991):271-274.

Lee, H.S., Ti, T.Y. and Khoo, Y.M. A simple high-performance liquid chromatographic method for measuring serum cloxacillin in eight asian patients. Ther. Drug Monit. 10(1988) : 340-344.

Lehinger, A.L. Biochemistry. 2nd ed. New York : Worth Publishers, 1975.

Lim, C.K. Sample preparation for high-performance liquid chromatography in the clinical laboratory. Trends Anal. Chem. 7(1988) : 340-345.

Lim, E.T., Smith, D.E., Benet, L.Z. and Hoener, B-A. High-performance liquid chromatographic assay for furosemide in plasma and urine. J. Chromatogr. 163(1979) : 315-321.

Liversidge, G.G. Ketoprofen. Analytical profiles of drug Substances. 15(1986) : 509-531.

Lowson, G.T., et al. Rapid and simple method for measurement of methotrexate and 7-hydroxymethotrexate in serum by high-perforamnce liquid chromatography. J. Chromatogr. 223(1981) : 225-331.

Macek, J. and Vacha, J. Rapid and sensitive method for determination of piroxicam in human plasma by high-performance liquid chromatography. J. Chromatogr. 420(1987) : 445-449.

Mae, V., et. al. Optical studies into the nature of the high affinity binding sites of human serum albumin for phenylbutazone. Mol. Pharmacol. 16(1980) : 147-153.

Mawatari, K-I., Iinuma, F. and Watanabe, M. Fluorimetric determination of indomethacin in human serum by high-performance liquid chromatography coupled with post- column photochemical reaction with

hydrogen peroxide. J. Chromatogr. 491(1989) : 389-396.

Mays, D.L. Cloxacillin sodium. Analytical profiles of drug substances. 4(1975) : 113-136.

McDowall, R.D. Sample preparation for biomedical analysis. J. Chromatogr. 492(1989) : 3-58.

Means, G.E., et al. Characterization of a major drug binding site in human serum albumin. In R.E. Feeney and J.R. Whitaker (eds.), Modification of protein : Food, nutritional and pharmacological aspects., pp. 326-346. Washington, D.C. : American Chemistry Society, 1982.

Mihalic, M., et al. Piroxicam. Analytical profiles of drug substances. 15(1986) : 509-531.

Montgomery, R., Dryer, R.L., Conway, T.W. and Spector, A.A. Biochemistry: A case oriented approach. 3rd ed. New York : C.V. Mosby Company, 1977.

Nation, R.L., Peng, G.W. and Chiou, W.L. Quantitative analysis of furosemide in micro plasma volumes by high-performance liquid column chromatography. J. Chromatogr. 162(1979) : 88-93.

Nicholas, P., Sollenne, P. and Means, G.F. Characterization of a specific drug binding site of human serum albumin. Mol. Pharmacol. 15(1979) : 754-757.

O'Brien, M., McCanley, J. and Cohen, E. Indomethacin. Analytical profile of drug substances. 13(1984) : 211-238.

Parkhurst, G.W. HPLC-UV determination of primaquine and its metabolites in human plasma and urine. J. Pharm. Sci. 73(1984) : 1329-1331.

Peter, J.P. and Slyke, D.D.V. Quantitative clinical chemistry, vol II method. Baltimore : Waverry Press, 1932.

Piafsky, K.M. Disease-induced changes in the plasma binding of basic drug. In M. Gibaldi and L. Prescott (eds.), Handbook of clinical pharmacokinetics, pp. 70-88. New York : ADIS Health Science Press, 1983.

Rapaka, R.S., Roth, J. Viswanathan, C.T., Goehl, T.J., Prasad, V.K. and Cabana, B.E. Improved method for the analysis of furosemide in plasma by high-

performance liquid chromatography. J. Chromatogr.  
227(1982) : 463-469.

Reynold, J.E.F. Martindale : the extra pharmacopoeia.  
29th ed. London : Pharmaceutical Press, 1989.

Rovan, M.C. Antibiotic monitoring in blood fluid.  
J. Chromatogr. 340(1985) : 361-400.

Rudrik, J.T. and Bowdon, R.E. Determination of penicillinase-resistant penicillins in serum using high-pressure liquid chromatography. J. Liq. Chromatogr.  
4(1981) : 1525-1545.

Russel, H.L. A modification of the Folin-Wu method for making protein-free blood filtrates. J. Biol. Chem.  
56(1923) : 469-471.

Sata,J., Owada, E. and Ito,K. Simple, rapid and sensitive reversed-phase high-performance liquid chromatographic method for the determination of mefenamic acid in plasma. J. Chromatogr. 493(1989) : 239-243.

Sawazin, M., et al. NMR study of the interaction between flurazepam and human serum albumin. Mol. Pharmacol.  
15(1979) : 71-77.

Sjoholm, I. The specificity of the drug binding sites of human serum albumin. Acta Pharmaceutica Suecica 17(Mar. 1980) : 76.

Sjoholm, I., et al. Binding of drug to human serum albumin : XI The specificity of three binding sites as studies with albumin immobilized microparticles. Mol. Pharmacol. 16(1980):767-777.

Smith, R.V. and Stewart, T.T. Textbook of biopharmaceutic analysis. Philadelphia : Lea-Febiger, 1981.

Somogyi, M. Nitrogenous substances in zinc filtrates of human blood. J. Biol. Chem. 87(1930) : 339-344.

\_\_\_\_\_. The use of copper and iron salts for the deproteinization of blood. J. Biol. Chem. 90(1931) : 725-729.

Stubbs, R.J., Schwartz, M.S., Chiou, R., Entwistle,L.A. and Bayne, W.F. Improved method for the determination of indomethacin in plasma and urine by reversed-phase high-performance liquid chromatography. J. Chromatogr. 383(1986) : 432-437.

Sudlow, G., Birkett, D.J. and Wade, D.N. The characterization of two specific drug binding sites on human serum albumin. Mol. Pharmacol. 11(1976):824-832.

Szepesi, G. HPLC in pharmaceutical analysis; vol I : Gerneral consideration. Florida : CRC Press, 1990

Takla, P.G. Glibenclamide. Analytical profiles of drug Substances. 10(1981) : 337-355.

Teare, F.W., Kwan, R.H., Spino, M. and Macleod, S.M. High-pressure liquid chromatographic assay of cloxacillin in serum and urine. J. Pharm. Sci. 71(1982) : 938-941.

The United State Pharmacopiea XXII. Rockville MD. : United States Pharmacopoeial Convention, Inc., 1990.

White, A., et al. Principles of biochemistry. 5th ed. Tokyo : McGraw Hill Kogalusha, 1973.

Waters chromatography division, Millipore. A guide to sample preparation. Miford : Millipore, 1988.  
(Mimeographed)

Wollert,U., Fehske, K.H. and Muller,W.E. Location of drug protein binding sites on human serum albumin.  
Acta Pharmaceutica Suecica 17(Mar. 1980) : 80.

Yuusry, M. EL., et al. A rapid and sensitive high-performance liquid chromatographic method for the determination of diclofenac sodium in serum and its use in pharmacokinetic studies. J. Pharm. Pharmacol. 40(1988) : 727-729.

## **ภาคผนวก**

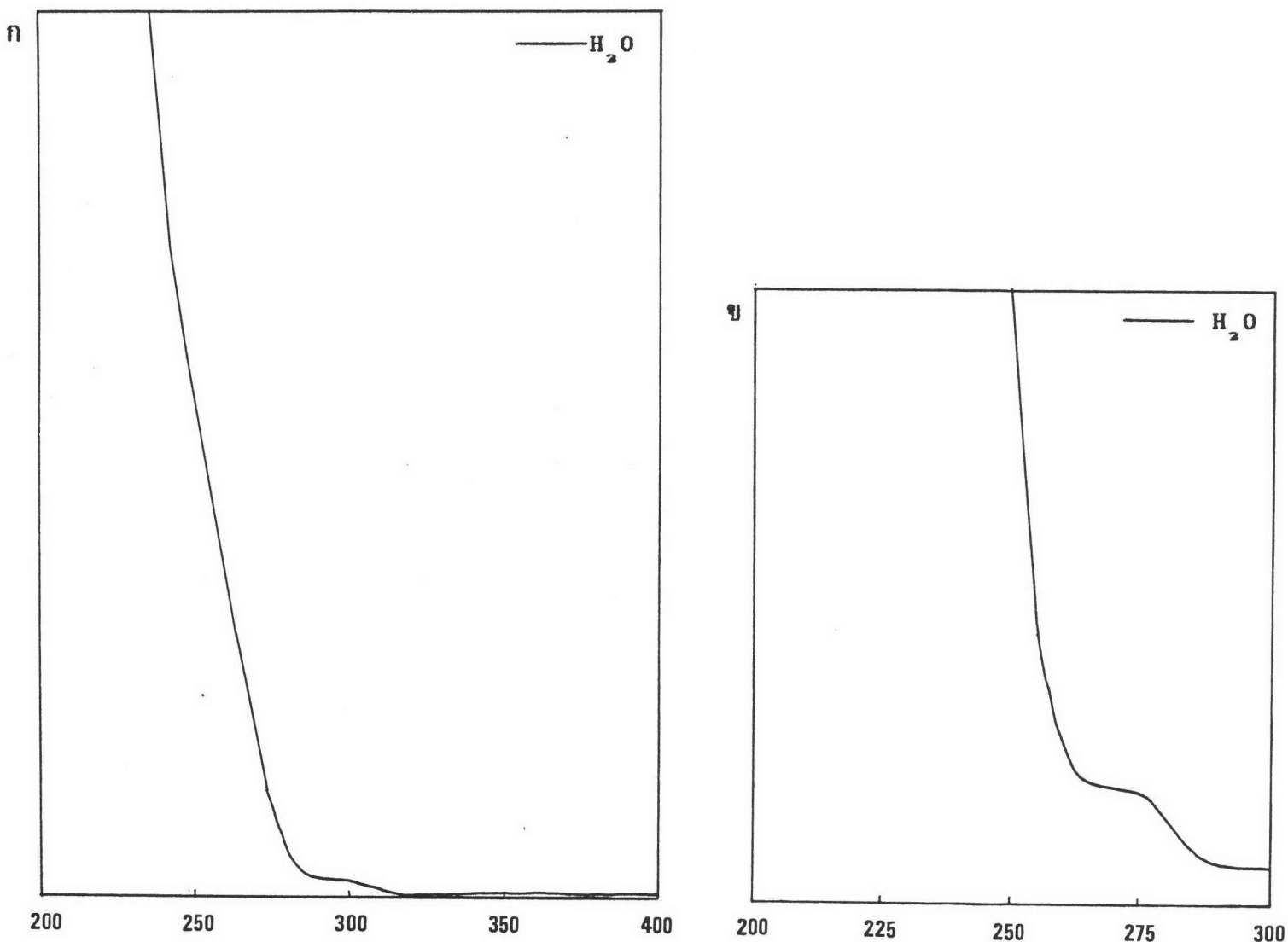
ภาคผนวก ก. แสดงรายงานผลการศึกษาระดับยาในพลาสม่าของตัวยาที่ศึกษา (Clarks, 1986;  
Reynold, 1989)

ชื่อยา	ระดับยาที่ตรวจพบในร่างกาย
คลอกซ้าซิลิน ไซเดียม	6.9-15 มคก./มล. เมื่อรับประทานยาขนาด 500 มก. ครั้งเดียว 7.9-24.4 มคก./มล. เมื่อรับประทานยาขนาด 10 มก./กก. ครั้งเดียว 28-80 มคก./มล. เมื่อรับประทานยาขนาด 25 มก./กก. ทุก 6 ชม.
ไซโคเลฟีแนค	0.75-2.0 มคก./มล. เมื่อรับประทานยาขนาด 50 มก. ครั้งเดียว 0.1-2.2 มคก./มล. เมื่อรับประทานยาขนาด 50 มก. 3 ครั้ง
ไซคลอกซ้าซิลิน ไซเดียม	4.6-5.5 มคก./มล. เมื่อรับประทานยาขนาด 250 มก. ครั้งเดียว 10-18 มคก./มล. เมื่อรับประทานยาขนาด 500 มก. ครั้งเดียว 12-40 มคก./มล. เมื่อรับประทานยาขนาด 100 มก./กก./วัน
ฟูโรซีโนเต	7.5 มคก./มล. เมื่อฉีดเข้าเส้น靜脈 ขนาด 40 มก. ครั้งเดียว
ไกลเบนคลามีด	0.17-0.36 มคก./มล. เมื่อรับประทานยาขนาด 5 มก. ครั้งเดียว
ไออบูโปรเพน	18-24 มคก./มล. เมื่อรับประทานยาขนาด 200 มก. ครั้งเดียว
อินโดเมทაซิน	0.8-2.5 มคก./มล. เมื่อรับประทานยาขนาด 25 มก. ครั้งเดียว 2.5-4 มคก./มล. เมื่อรับประทานยาขนาด 50 มก. ครั้งเดียว
เคโตโปรเพน	3.2-4.8 มคก./มล. เมื่อรับประทานยาขนาด 50 มก. ครั้งเดียว 5.5-10.0 มคก./มล. เมื่อรับประทานยาขนาด 100 มก. ครั้งเดียว
กรดมีเพนนามิก	13.1 มคก./มล. เมื่อรับประทานยาขนาด 150 มก. ครั้งเดียว 10 มคก./มล. เมื่อรับประทานยาขนาด 1 กรัม ครั้งเดียว
นาบูรเซน	26-51 มคก./มล. เมื่อรับประทานยาขนาด 250 มก. ครั้งเดียว 62-96 มคก./มล. เมื่อรับประทานยาขนาด 500 มก. ครั้งเดียว
ฟีนิลปิวทาไซน	83 มคก./มล. เมื่อรับประทานยาขนาด 200 มก./วัน 95 มคก./มล. เมื่อรับประทานยาขนาด 300 มก./วัน 99 มคก./มล. เมื่อรับประทานยาขนาด 400 มก./วัน 51.2-88.1 มคก./มล. เมื่อรับประทานยาขนาด 600 มก. ครั้งเดียว

**ภาคผนวก ก. แสดงรายงานผลการศึกษาระดับยาในพลาสม่าของตัวยาที่ศึกษา (ต่อ)**

ชื่อยา	ระดับยาที่ตรวจพบในร่างกาย
ไฟรอคิซิเคม	3-8 มก./ml. เมื่อรับประทานยาขนาด 20 มก./วันแบ่งให้ 3 ครั้ง 1.5-2.0 มก./ml. เมื่อรับประทานยาขนาด 20 มก. ครั้งเดียว 9.0-16.5 มก./ml. เมื่อรับประทานยาขนาด 30 มก./วันนาน 14 วัน 1.7-6.8 มก./ml. เมื่อรับประทานยาขนาด 40 มก. ครั้งเดียว

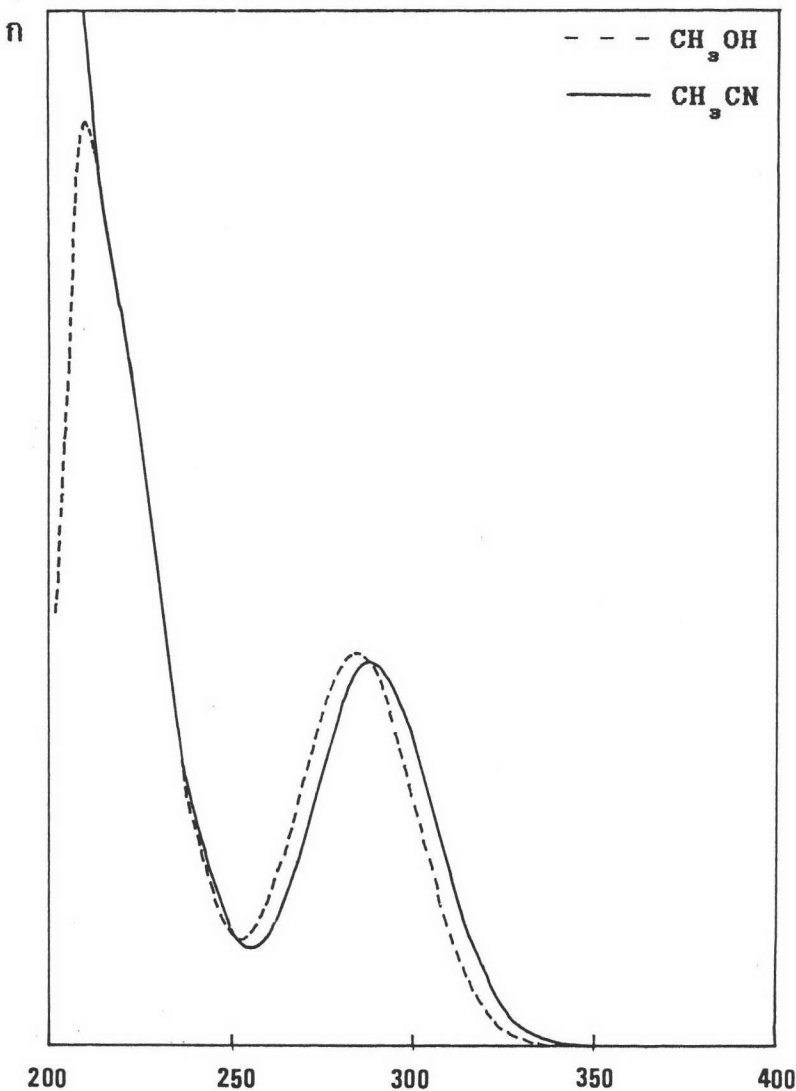
ภาคพนวก ช.



รูปที่ 53 สเปกตรัมอัลตร้าไวโอเลตของคลอกซ่าซิลิน โซเดียม

ก. เป็นสเปกตรัมอัลตร้าไวโอเลตที่ทดลองได้

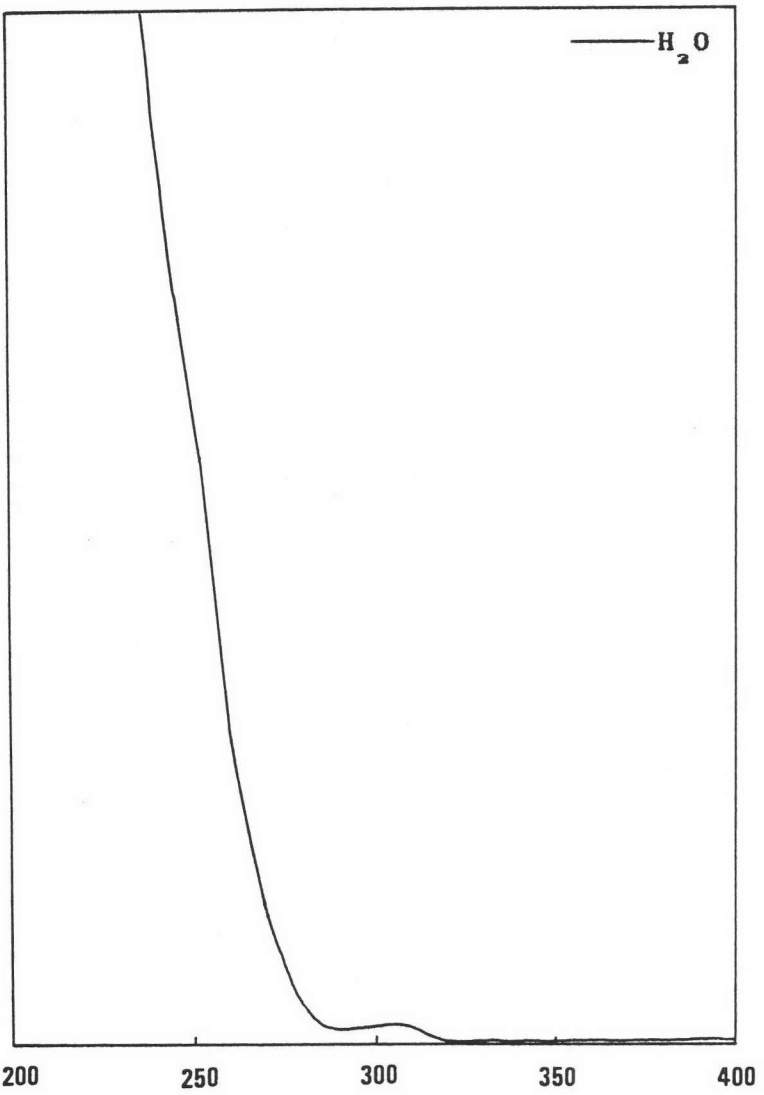
ข. เป็นสเปกตรัมอัลตร้าไวโอเลตอ้างอิง



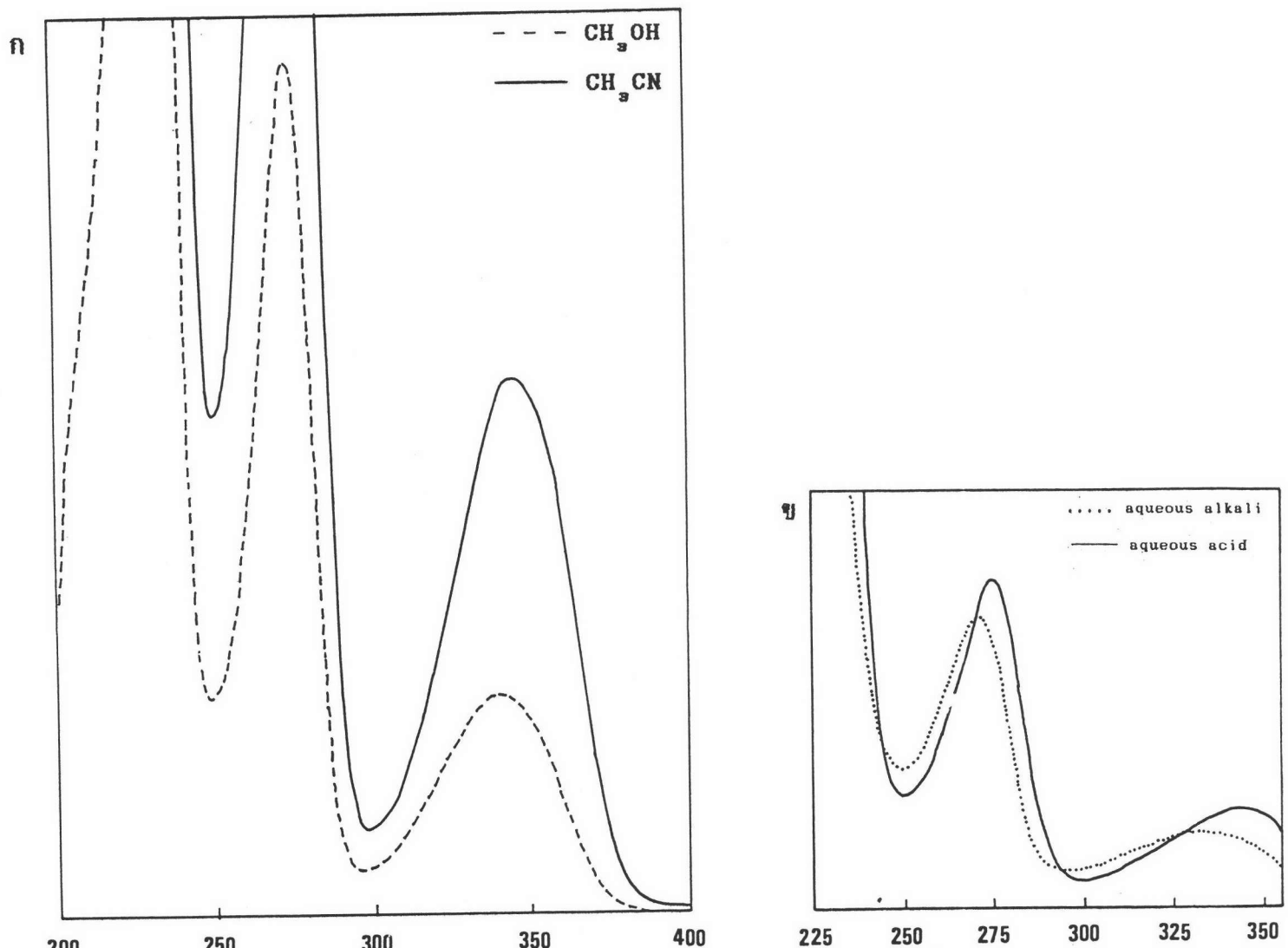
รูปที่ 54 สเปกตรัมอัลตราไวโอเลตของไดโคลฟิแนค

ก. เป็นสเปกตรัมอัลตราไวโอเลตที่ทดลองได้

ข. เป็นสเปกตรัมอัลตราไวโอเลตอ้างอิง

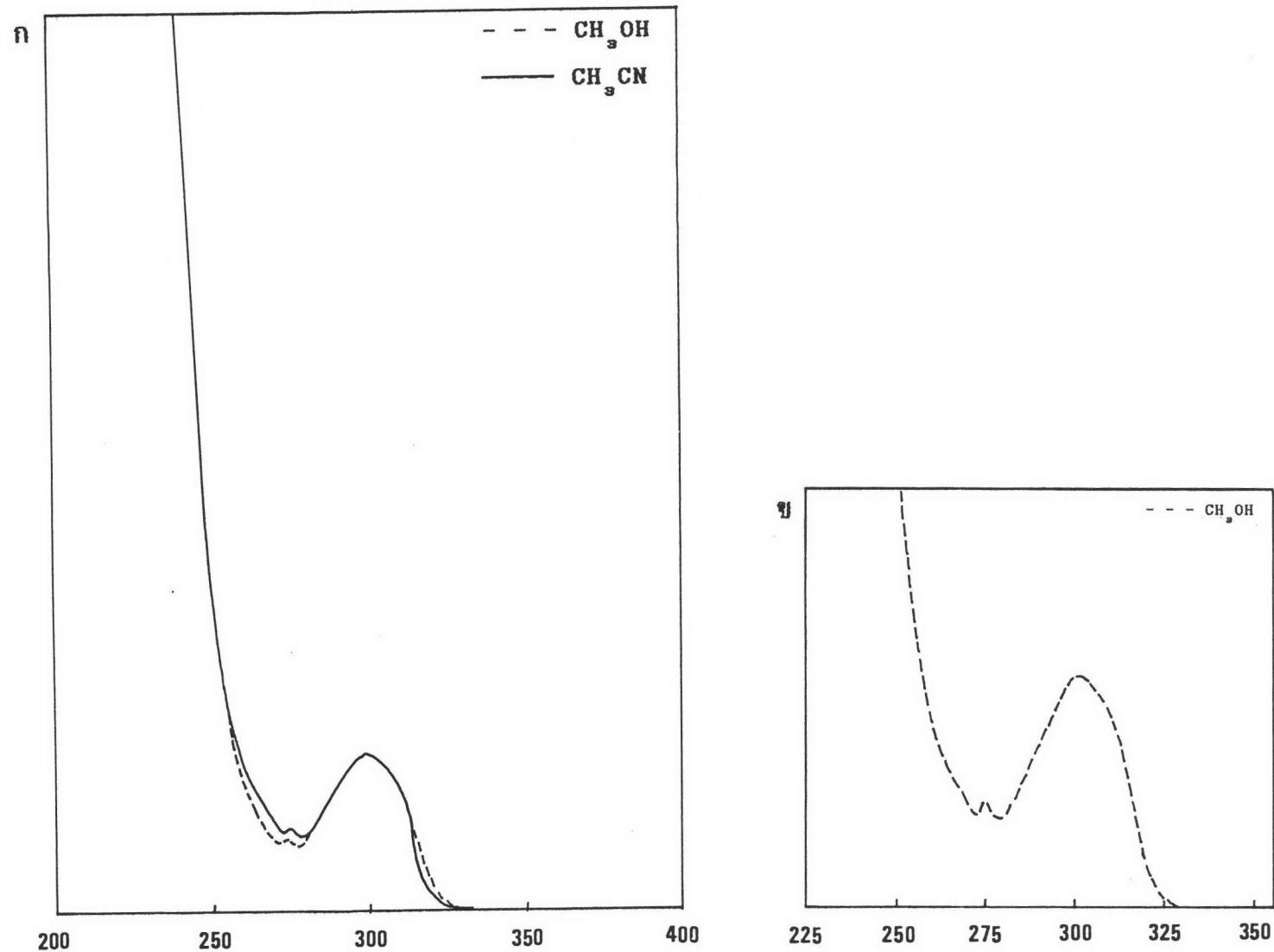


รูปที่ 55 สเปกตรัมอัลตราไวโอเลตของไดคลอกซากซิลิน ใชเดียมทีทคลองได



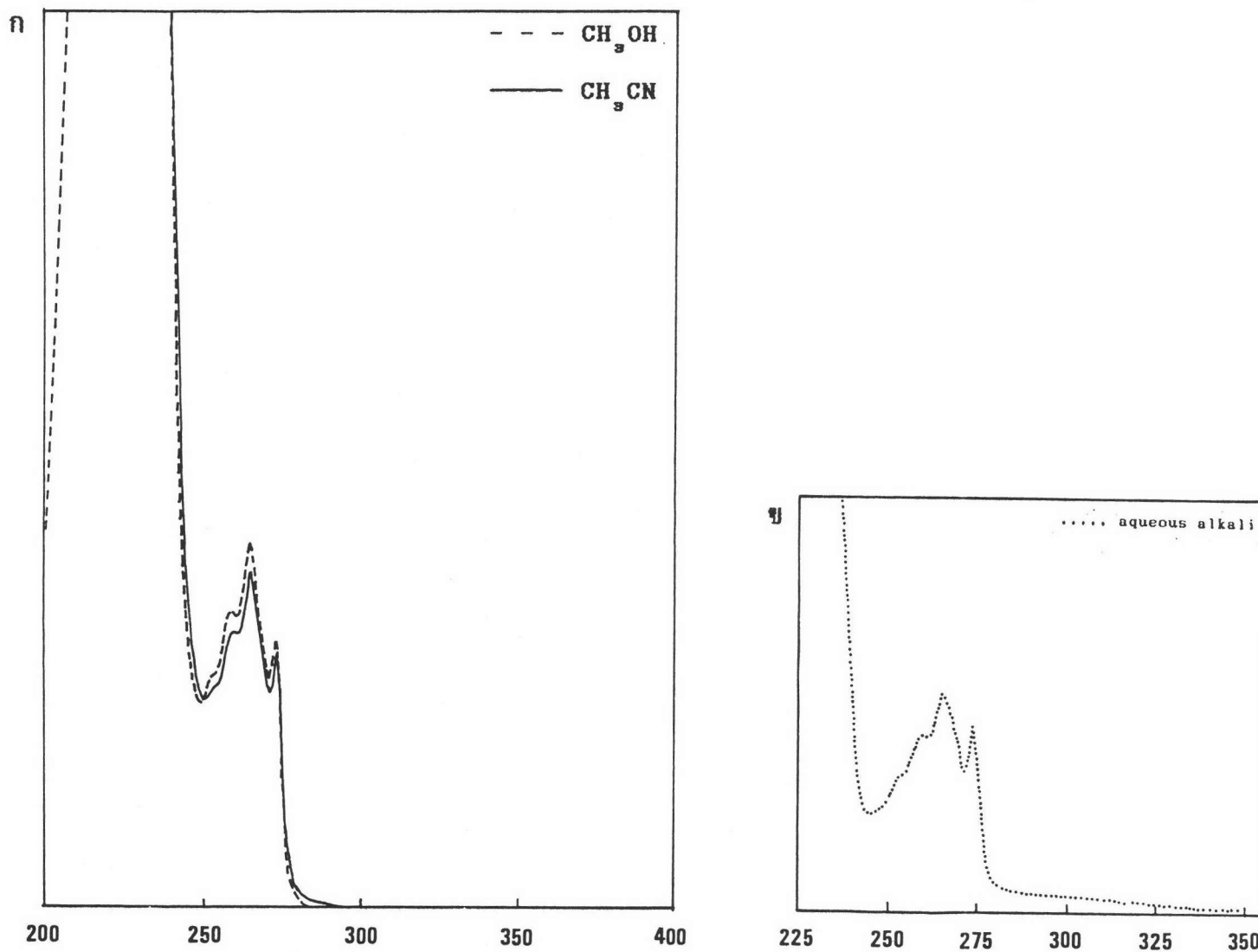
รูปที่ 56 สเปกตรัมอัลตร้าไวโอเลตของฟูโรชีไมค์

- ก. เป็นสเปกตรัมอัลตร้าไวโอเลตที่ทดลองได้
- ข. เป็นสเปกตรัมอัลตร้าไวโอเลตอ้างอิง



รูปที่ 57 สเปกตรัมอัลตร้าไวโอเลตของไกลเบนคลามีด

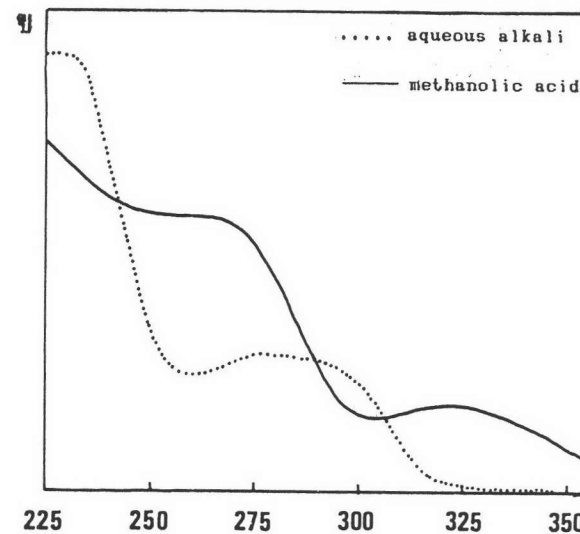
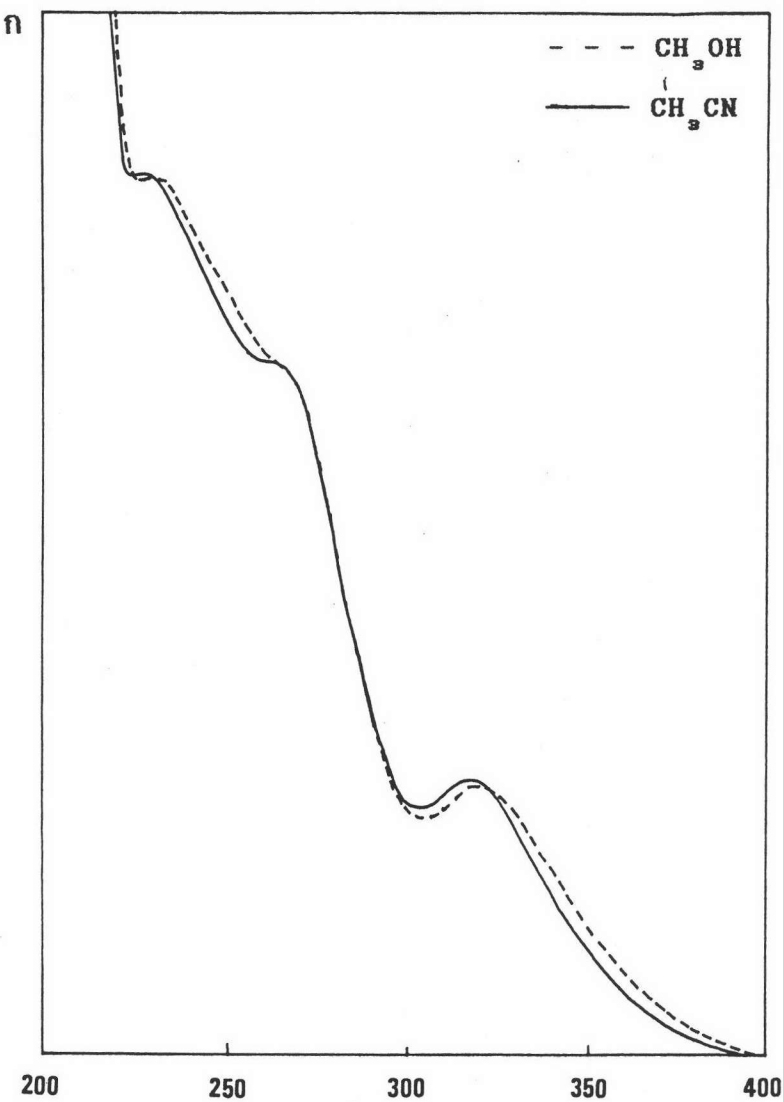
- ก. เป็นสเปกตรัมอัลตร้าไวโอเลตที่ทดลองได้
- ข. เป็นสเปกตรัมอัลตร้าไวโอเลตอ้างอิง



รูปที่ 58 สเปกตรัมอัลตร้าไวโอลีตของไอوبูโรเฟน

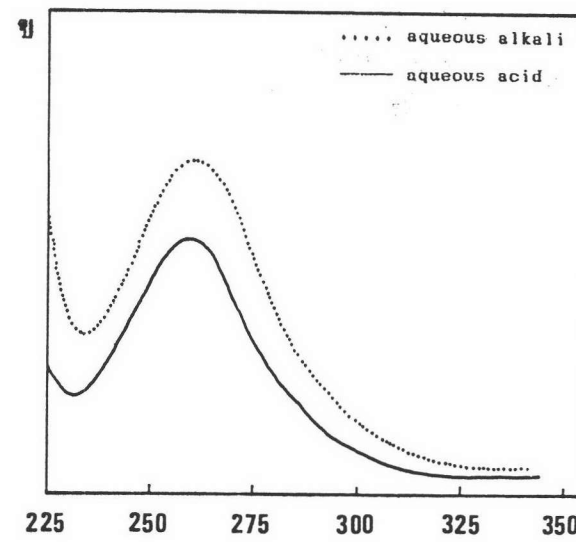
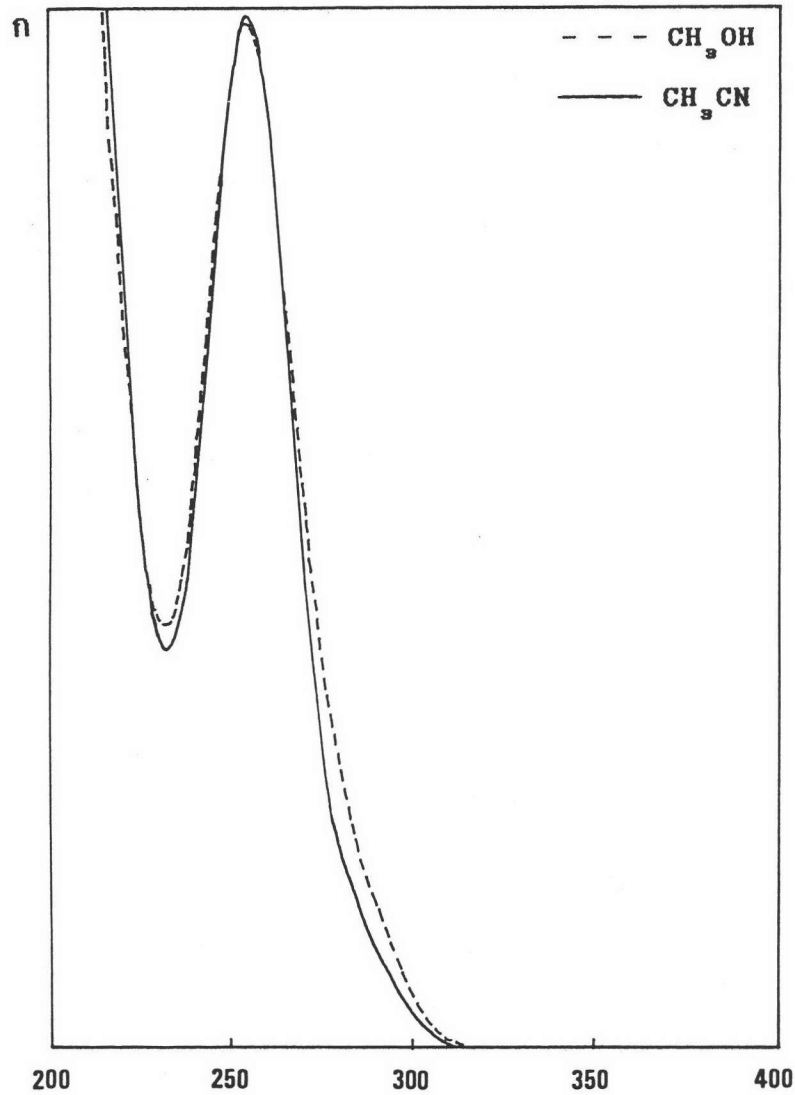
ก. เป็นสเปกตรัมอัลตร้าไวโอลีตที่ทดลองได้

ข. เป็นสเปกตรัมอัลตร้าไวโอลีตอ้างอิง



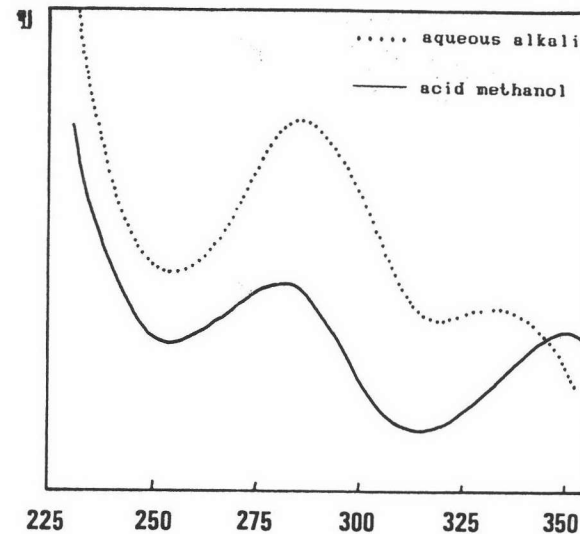
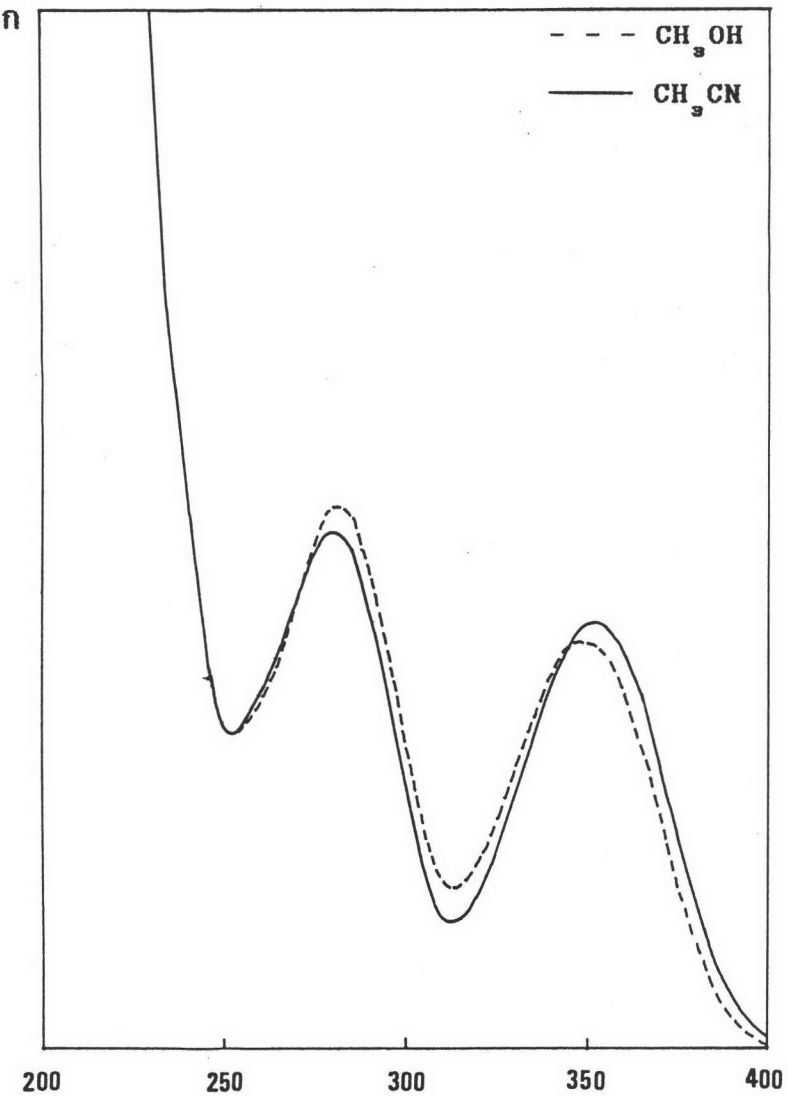
รูปที่ 59 สเปกตรัมอัลตร้าไวโอลีตของอินโดเมทาซิน

- ก. เป็นสเปกตรัมอัลตร้าไวโอลีตที่ทดลองได้
- ข. เป็นสเปกตรัมอัลตร้าไวโอลีตอ้างอิง



รูปที่ 60 สเปกตรัมอัลตร้าไวโอเลตของคิโนโปรเฟน

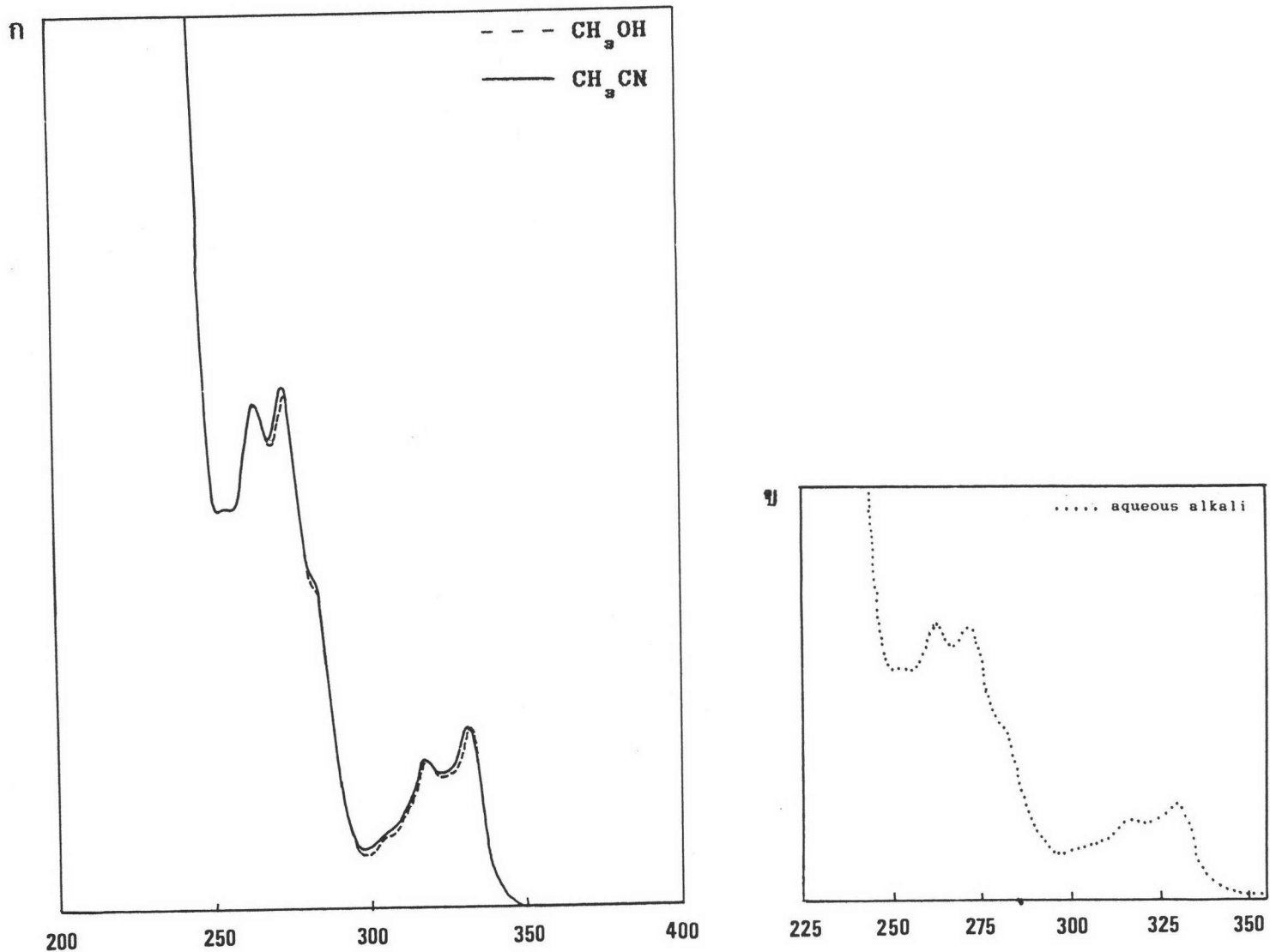
- ก. เป็นสเปกตรัมอัลตร้าไวโอเลตที่ทดลองได้
- ข. เป็นสเปกตรัมอัลตร้าไวโอเลตอ้างอิง



รูปที่ 61 สเปกตรัมอัลตร้าไวโอลีตของมีเฟนนามิค แอซิด

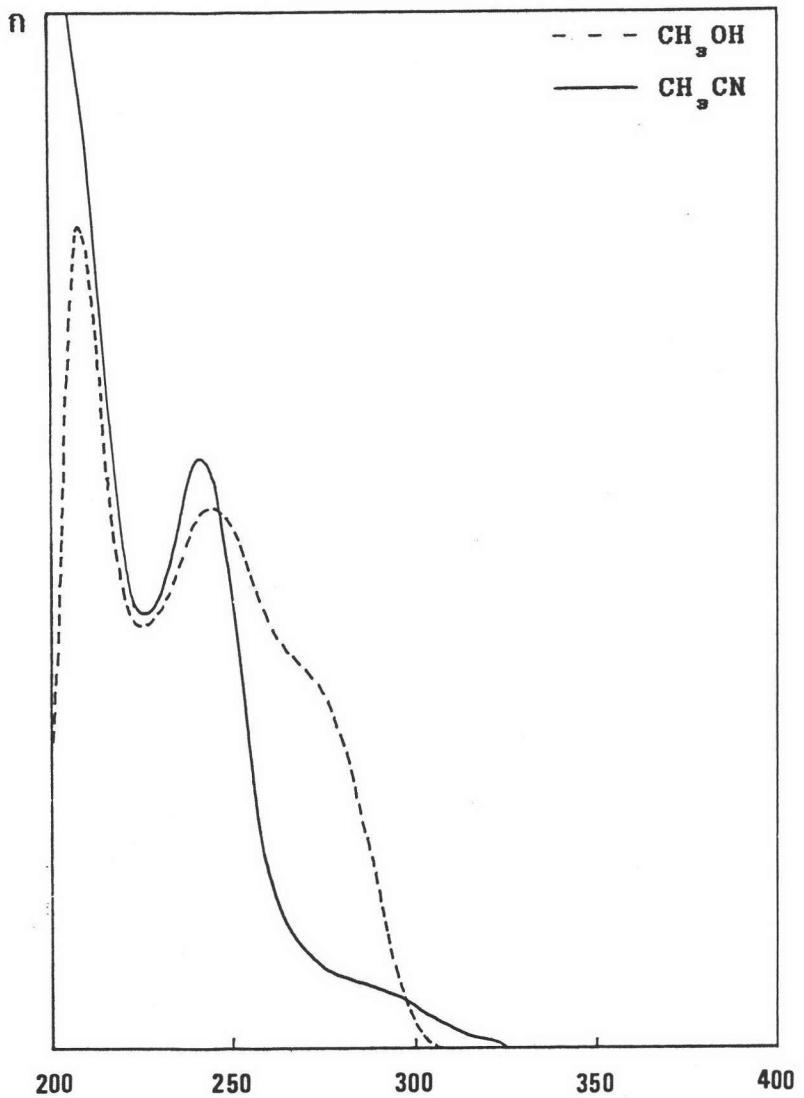
ก. เป็นสเปกตรัมอัลตร้าไวโอลีตที่ทดลองได้

ข. เป็นสเปกตรัมอัลตร้าไวโอลีตอ้างอิง



รูปที่ 62 สเปคตรัมอัลตร้าไวโอดิเลตของนาโนรีซิน

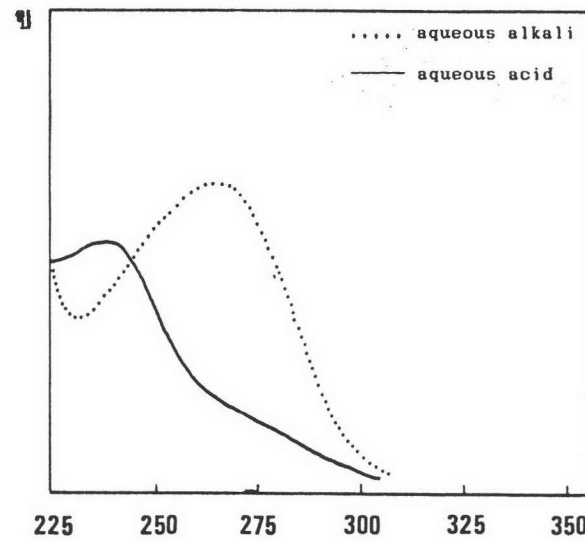
- ก. เป็นสเปคตรัมอัลตร้าไวโอดิเลตที่ทดลองได้
- ข. เป็นสเปคตรัมอัลตร้าไวโอดิเลตอ้างอิง

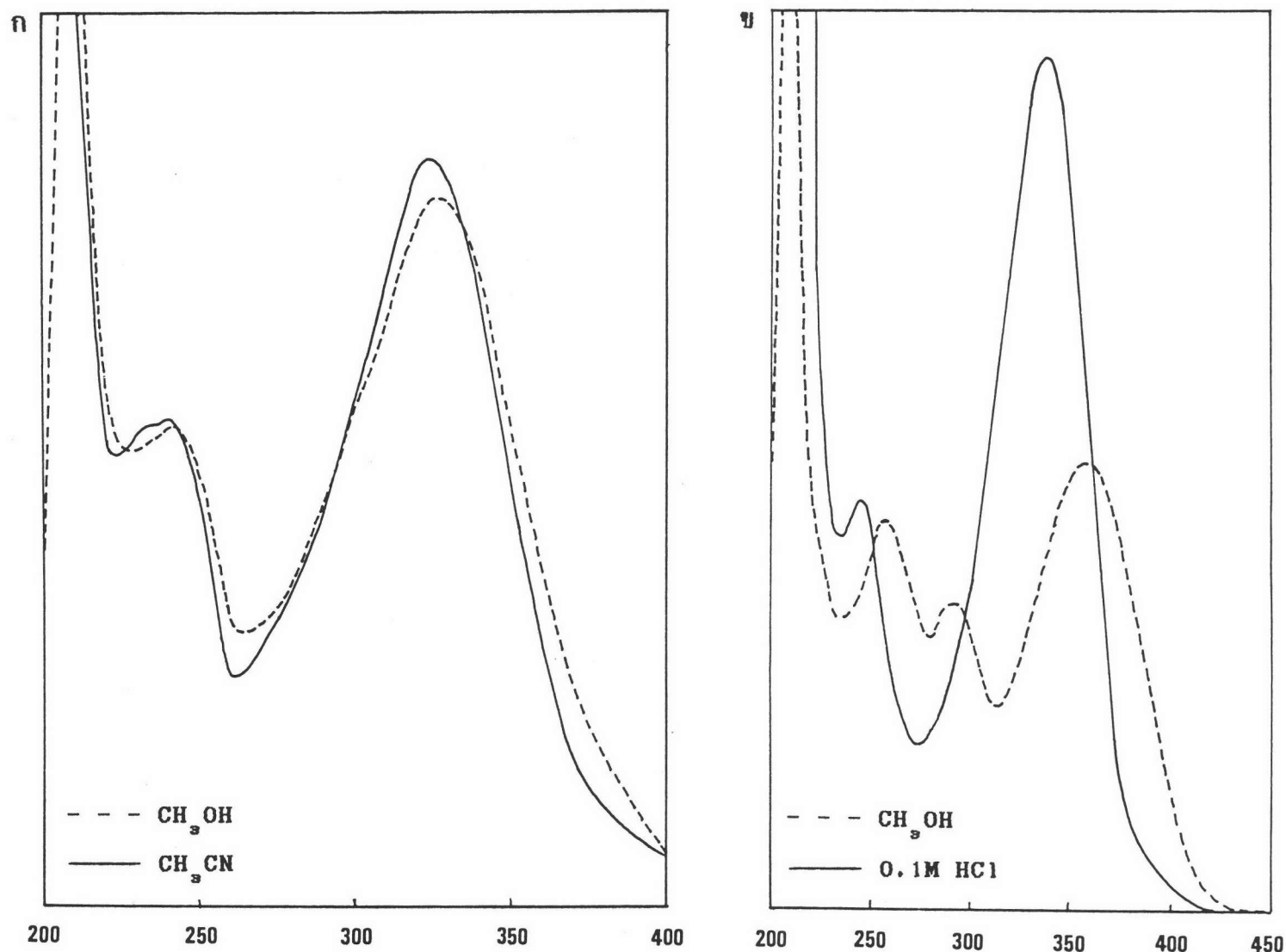


รูปที่ 63 สเปกตรัมอัลตร้าไวโอเลตของนีนิลบิวทาซิน

ก. เป็นสเปกตรัมอัลตร้าไวโอเลตที่ทดลองได้

ข. เป็นสเปกตรัมอัลตร้าไวโอเลตอ้างอิง



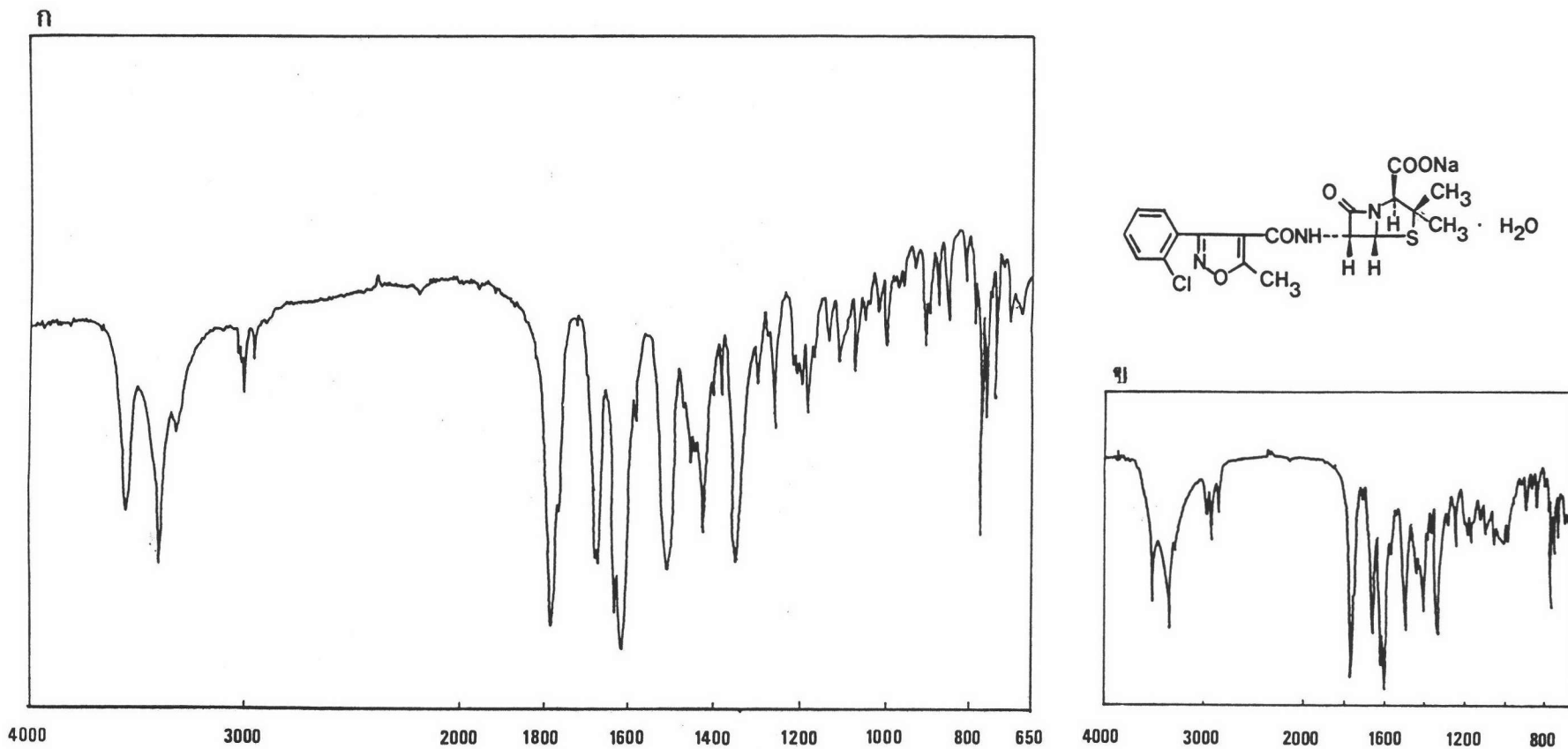


รูปที่ 64 สเปกตรัมอัลตราไวโอลেตของไนโรกซิแคม

ก. เป็นสเปกตรัมอัลตราไวโอลีตที่ทดลองได้

ข. เป็นสเปกตรัมอัลตราไวโอลีตอ้างอิง

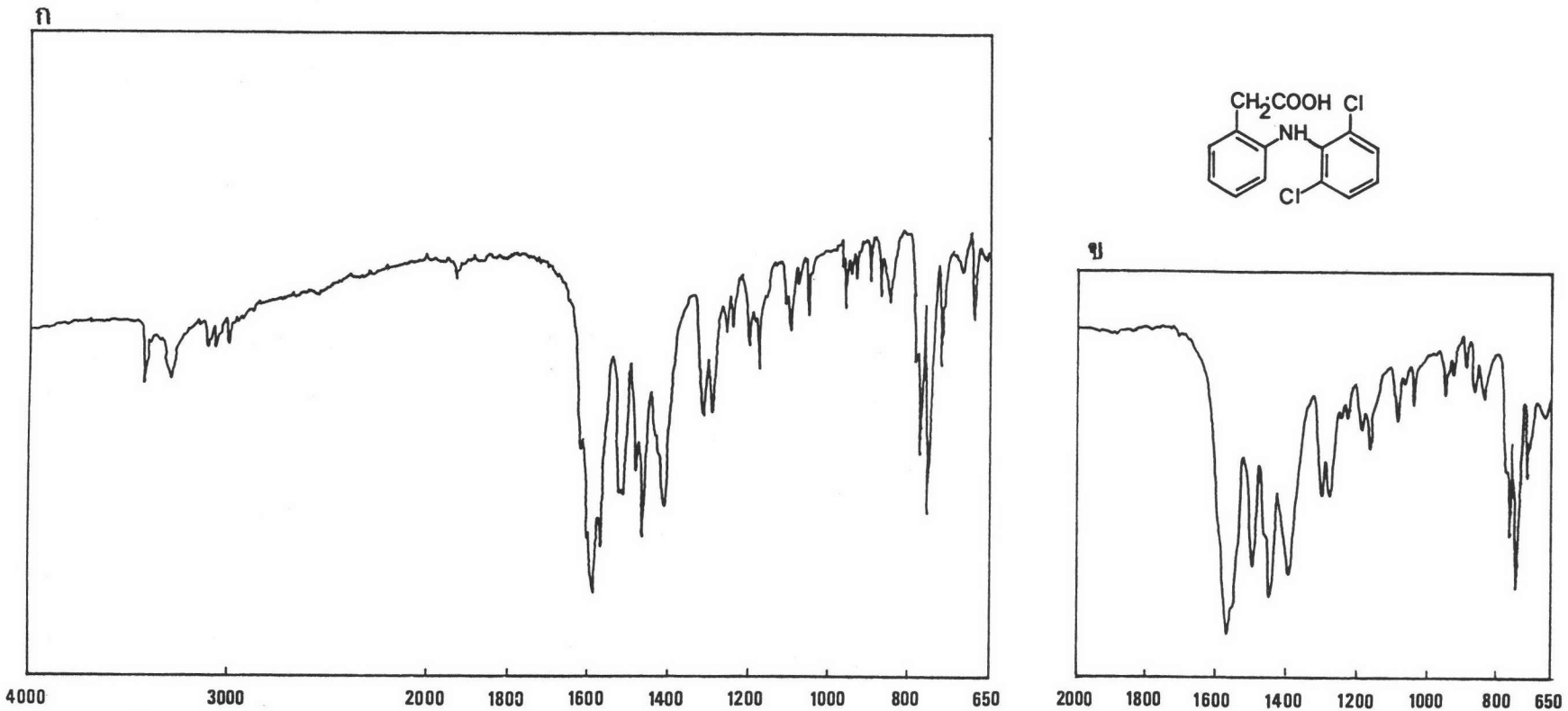
ภาคผนวก ค.



รูปที่ 65 สเปคตรัมอินฟราเรดของคลอกซ่าซิลิน โซเดียม (KBr disc)

ก. เป็นสเปคตรัมอินฟราเรดที่ทดสอบได้

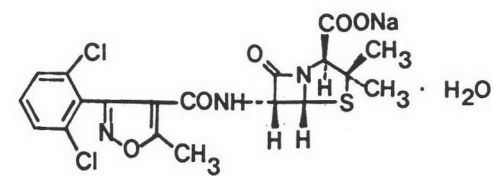
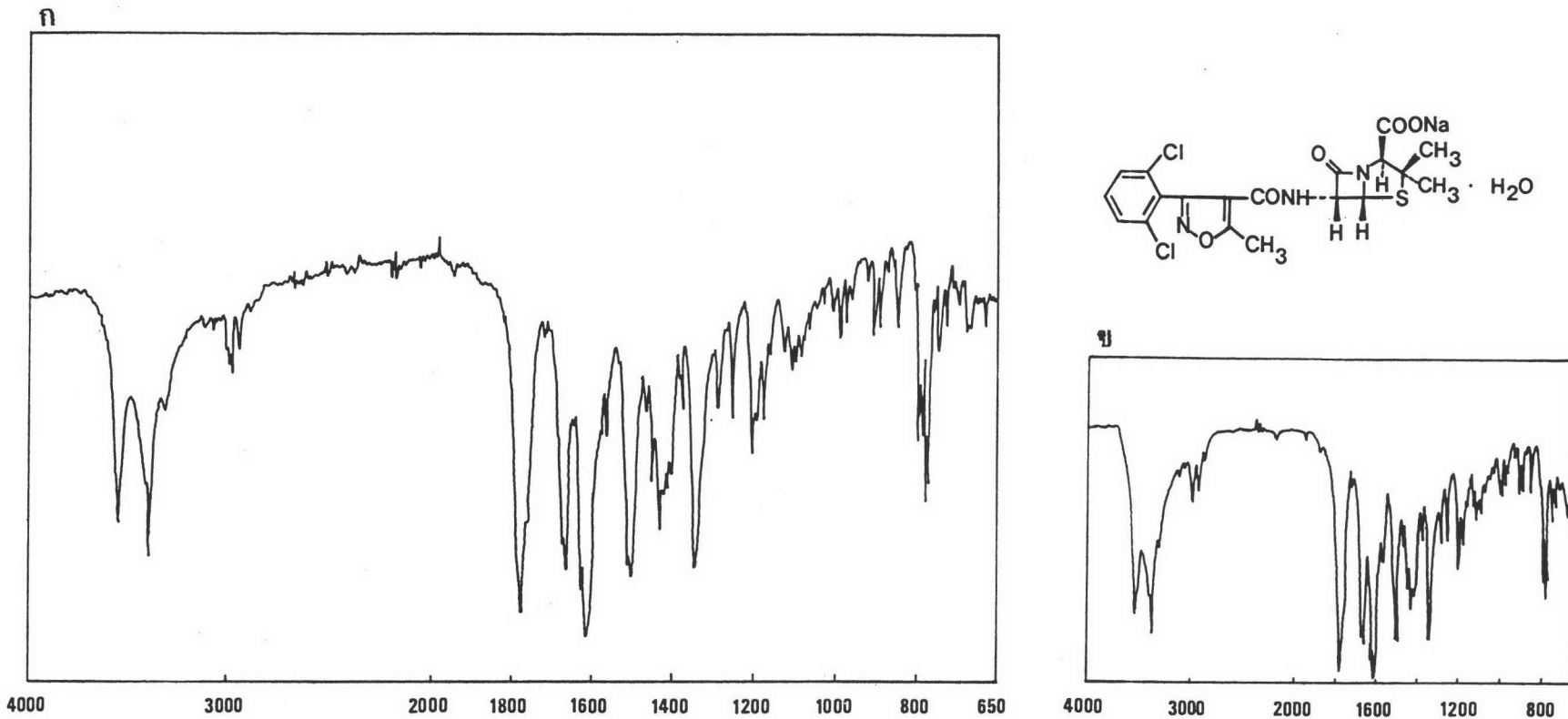
ข. เป็นสเปคตรัมอินฟราเรดอ้างอิง



รูปที่ 66 สเปกตรัมอินฟราเรดของไดโคลฟีแนค (KBr disc)

ก. เป็นสเปกตรัมอินฟราเรดที่กดลงได้

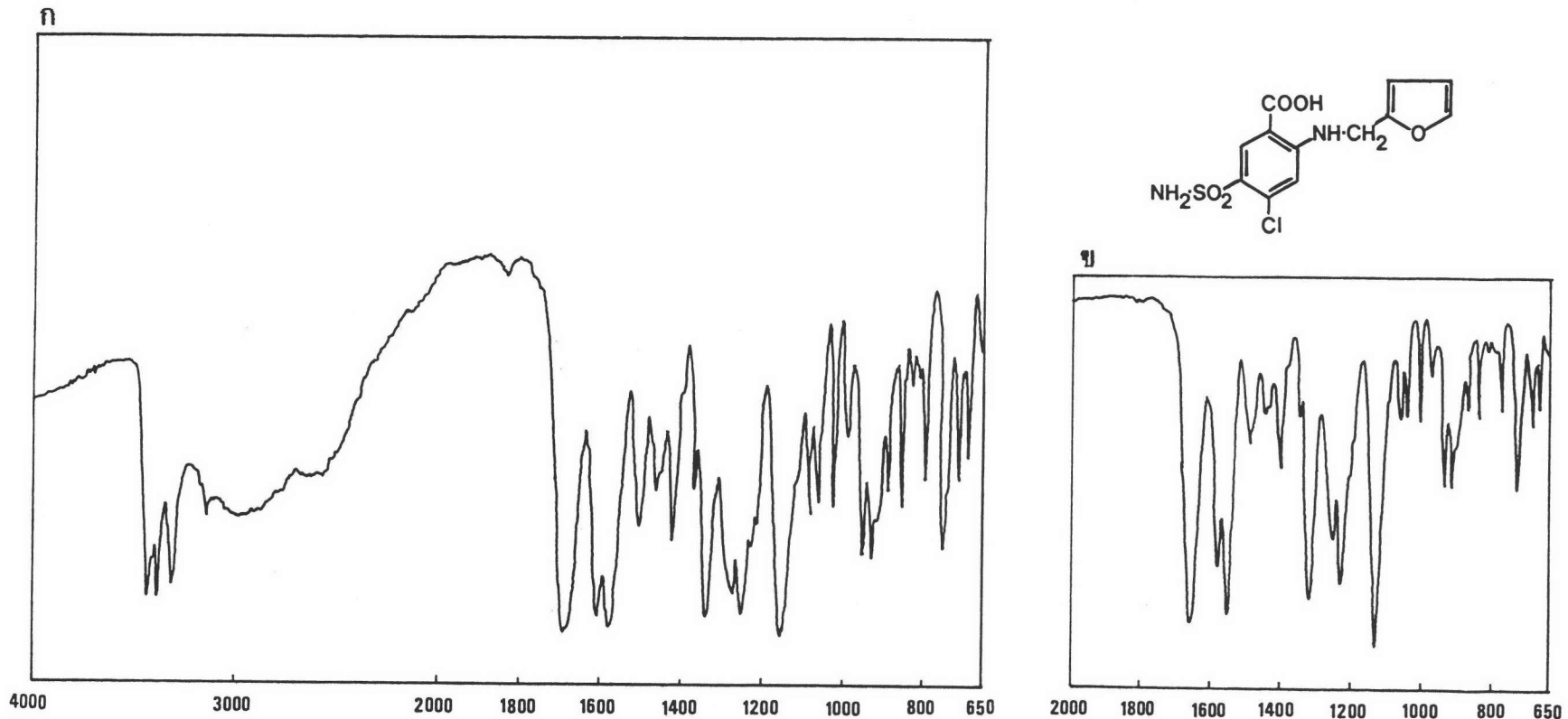
ข. เป็นสเปกตรัมอินฟราเรดอ้างอิง



รูปที่ 67 สเปกตรัมอินฟราเรดของไดคลอฟาซิลิน โซเดียม (KBr disc)

ก. เป็นสเปกตรัมอินฟราเรดที่ทดลองได้

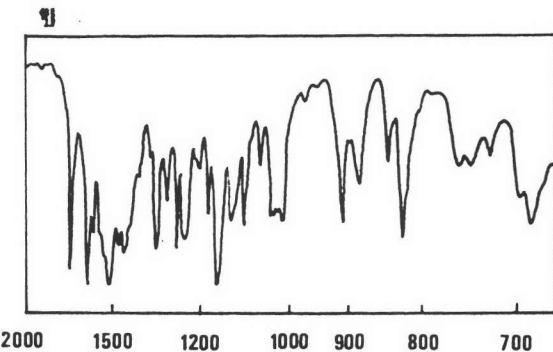
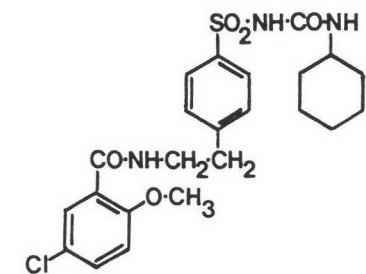
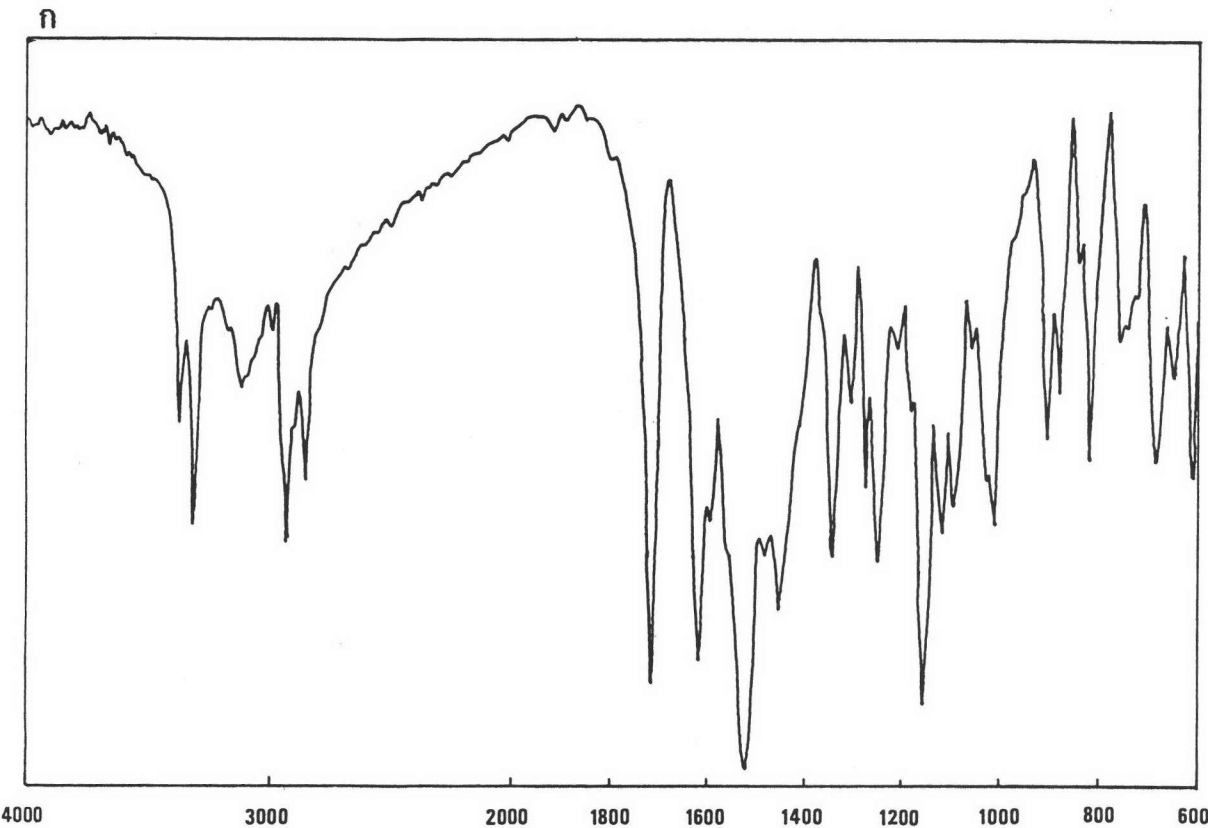
ข. เป็นสเปกตรัมอินฟราเรดอ้างอิง



รูปที่ 68 สเปกตรัมอินฟราเรดของฟูโรซีไมด์ (KBr disc)

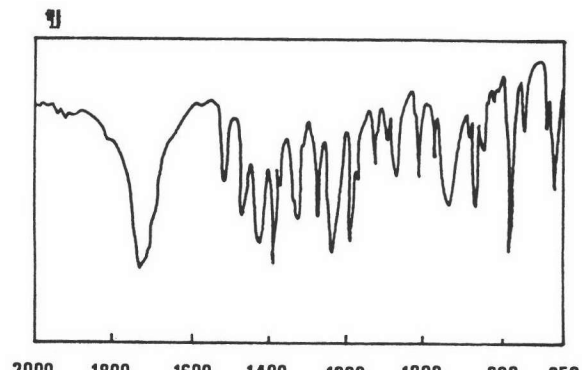
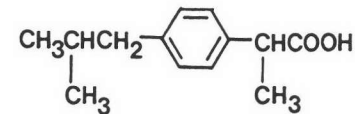
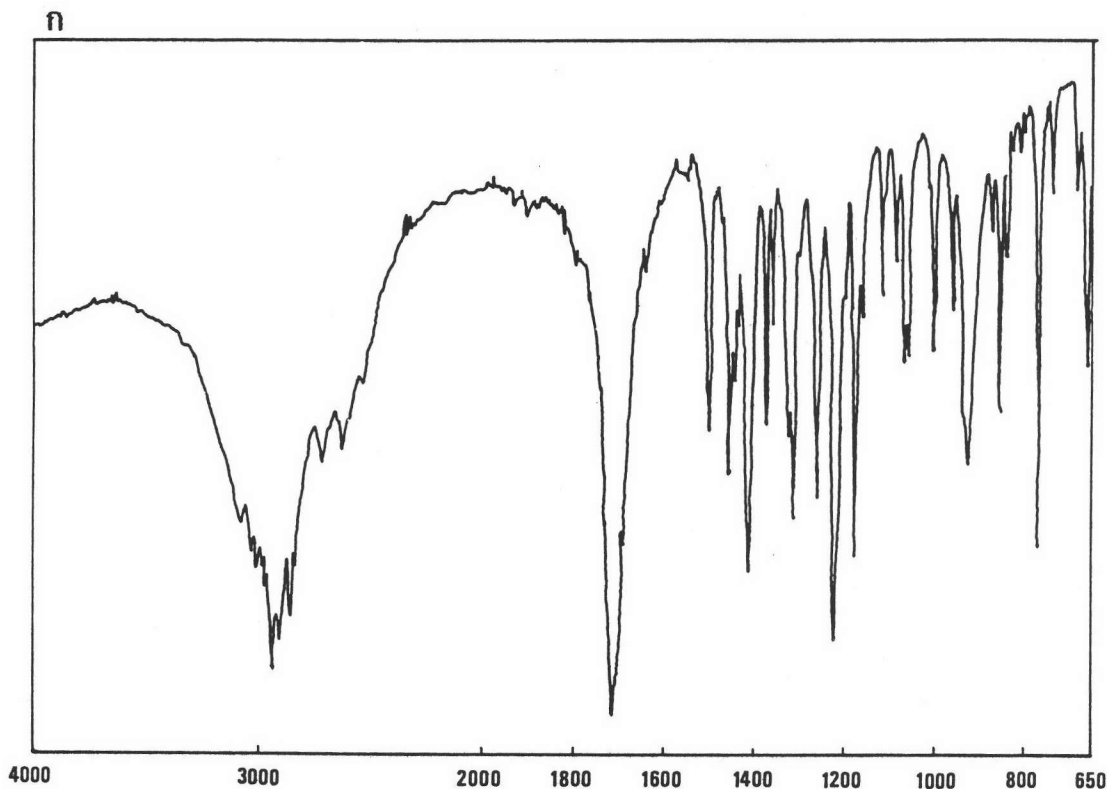
ก. เป็นสเปกตรัมอินฟราเรดที่กดลงไว้

ข. เป็นสเปกตรัมอินฟราเรดอ้างอิง



รูปที่ 69 สเปกตรัมอินฟราเรดของไกลเบนคลาไมด์ (KBr disc)

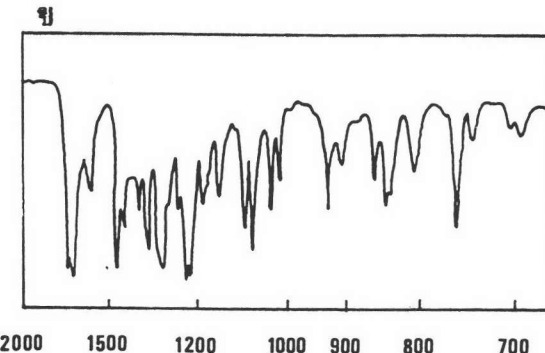
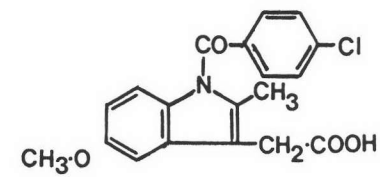
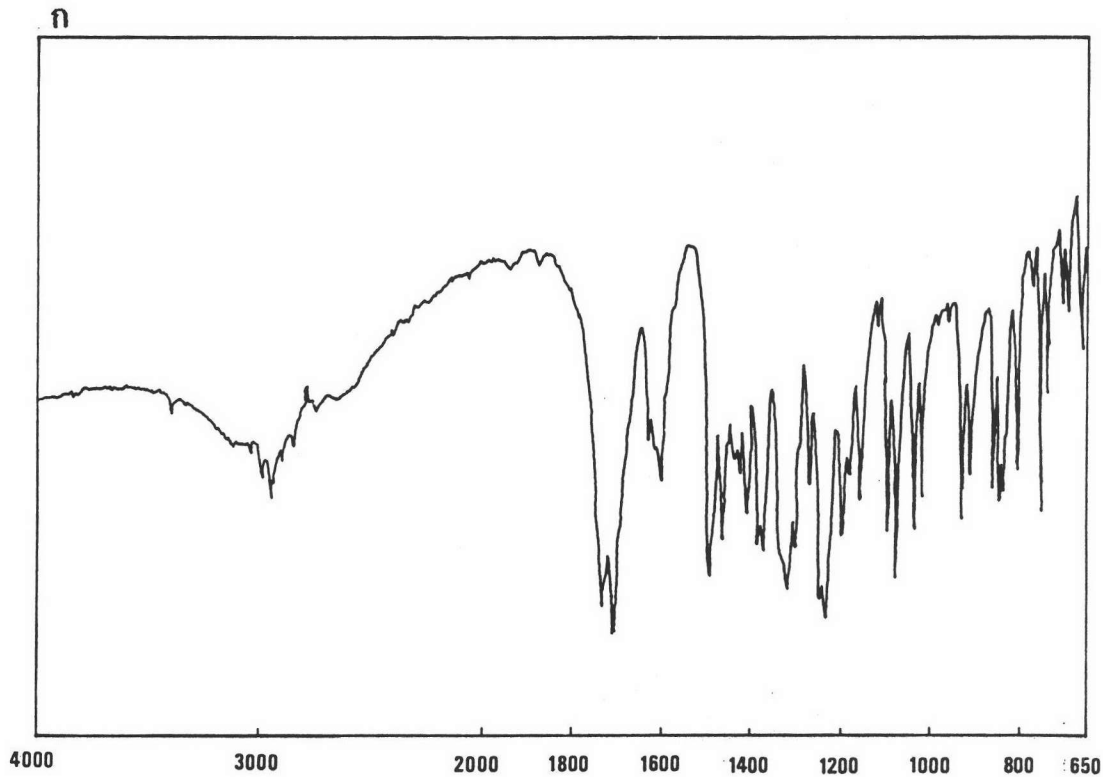
- ก. เป็นสเปกตรัมอินฟราเรดที่ทดลองได้
- ข. เป็นสเปกตรัมอินฟราเรดอ้างอิง



รูปที่ 70 สเปกตรัมอินฟราเรดของไอโซบิโพรเฟน (KBr disc)

ก. เป็นสเปกตรัมอินฟราเรดที่ทดลองได้

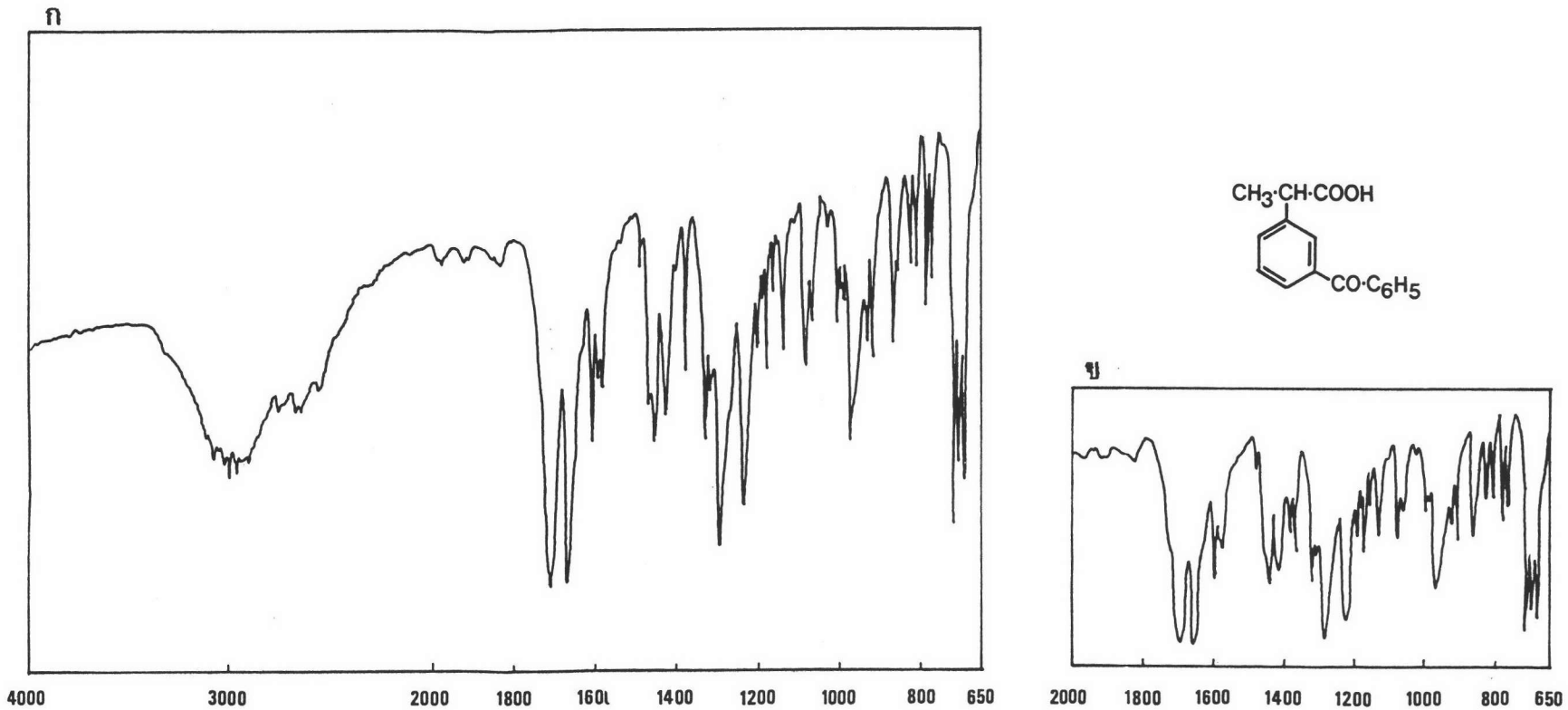
ข. เป็นสเปกตรัมอินฟราเรดอ้างอิง



รูปที่ 71 สเปกตรัมอินฟราเรดของอินโดเมทาซิน (KBr disc)

ก. เป็นสเปกตรัมอินฟราเรดที่ทึบลงได้

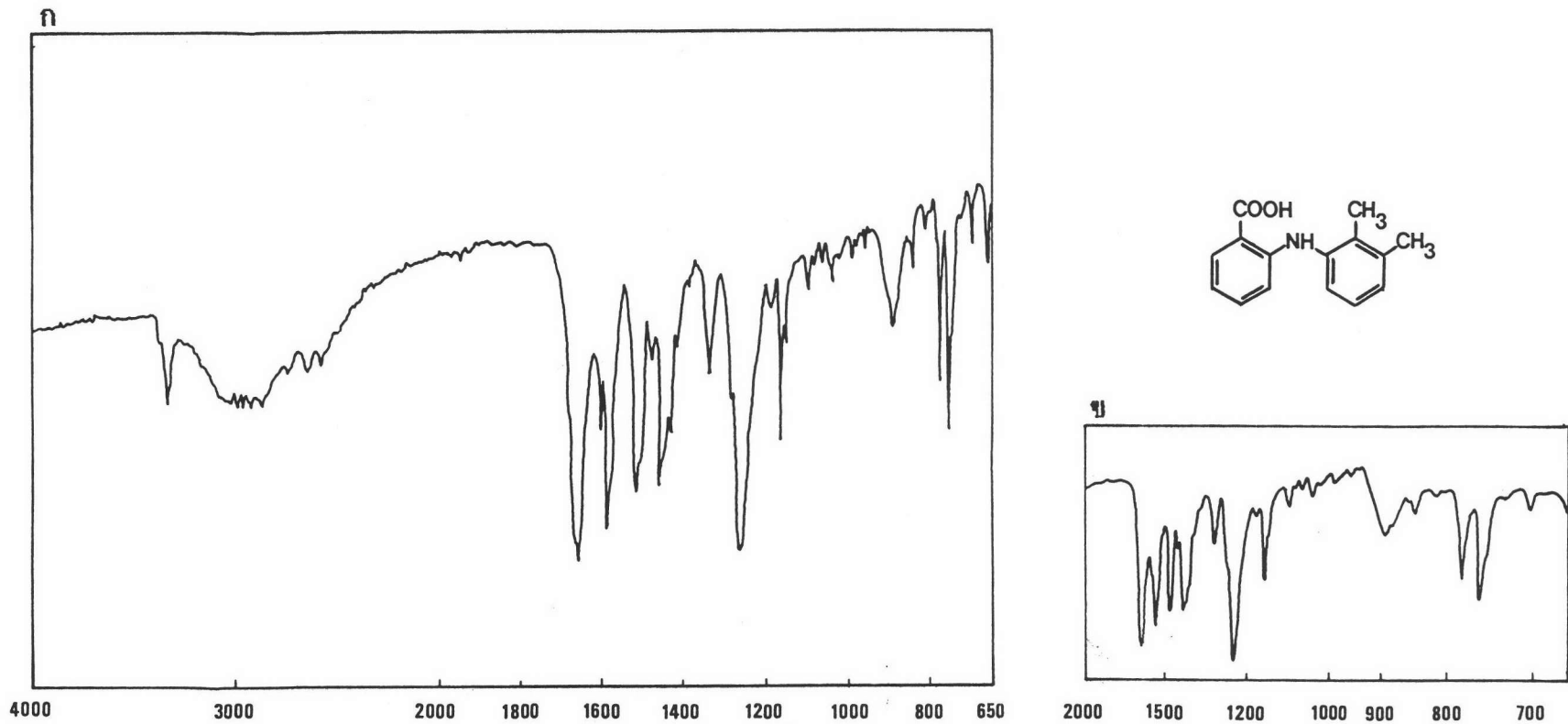
ข. เป็นสเปกตรัมอินฟราเรดอ้างอิง



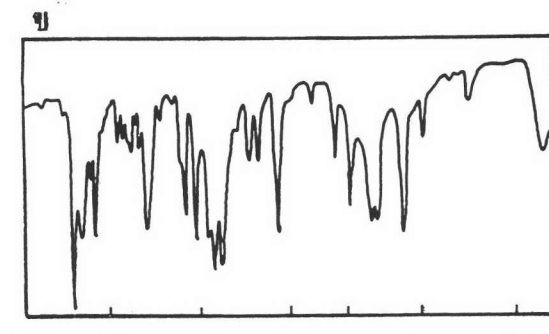
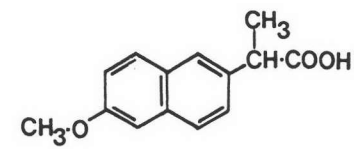
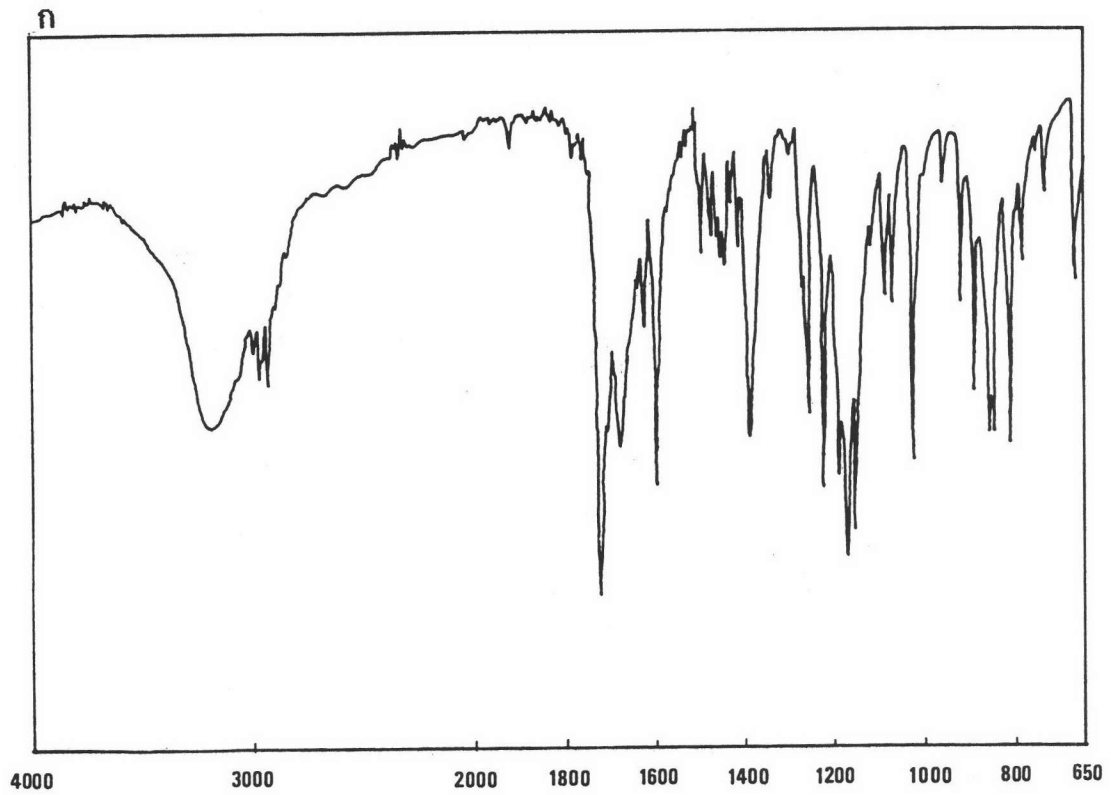
รูปที่ 72 สเปกตรัมอินฟราเรดของคิโตโปรเฟน (KBr disc)

ก. เป็นสเปกตรัมอินฟราเรดที่ทดลองได้

ข. เป็นสเปกตรัมอินฟราเรดอ้างอิง



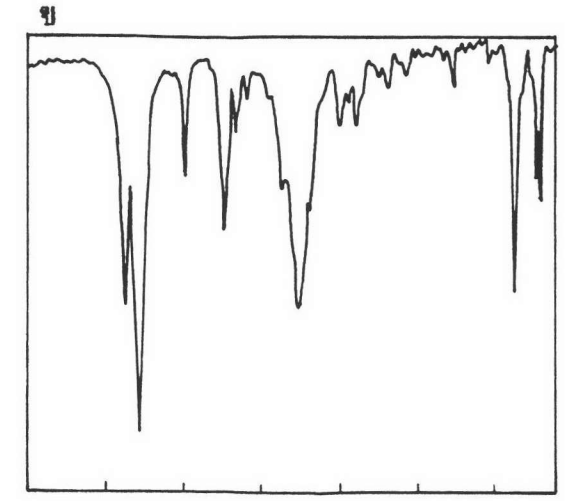
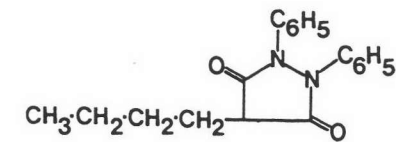
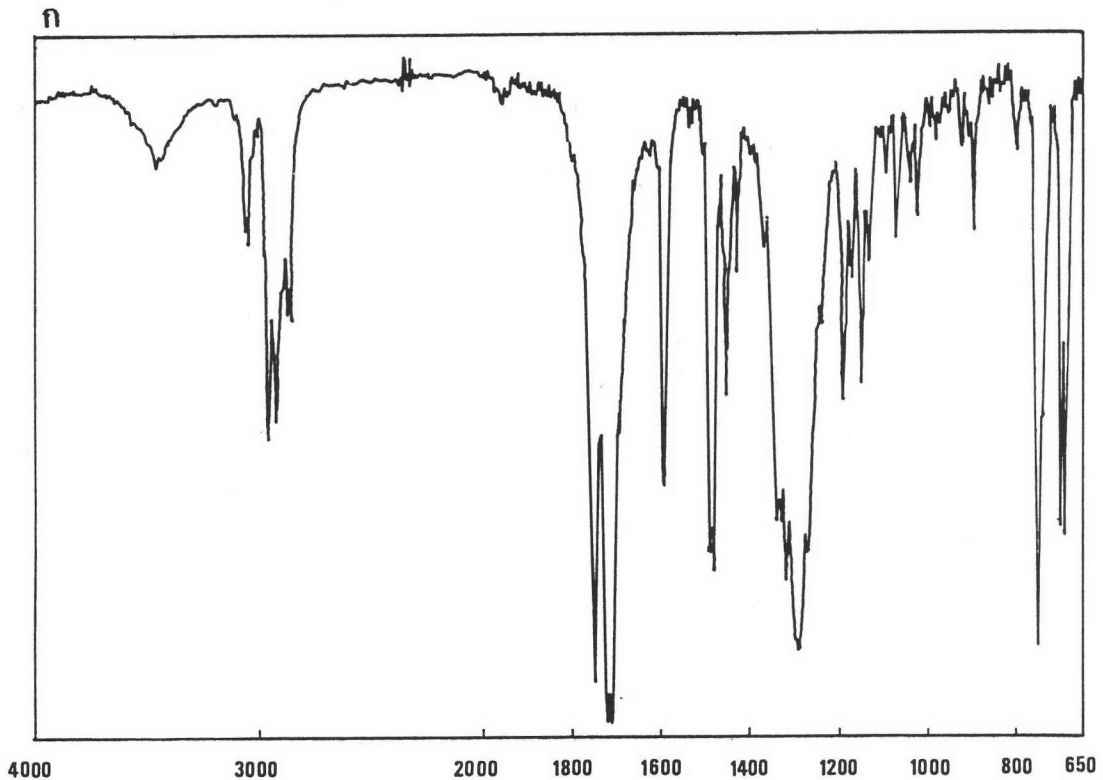
รูปที่ 73 สเปกตรัมอินฟราเรดของมีเ芬นามิก แอซิด (KBr disc)  
 ก. เป็นสเปกตรัมอินฟราเรดที่ทดสอบได้  
 ข. เป็นสเปกตรัมอินฟราเรดอ้างอิง



รูปที่ 74 สเปคตรัมอินฟราเรดของนาโภรเซน (KBr disc)

ก. เป็นสเปคตรัมอินฟราเรดที่ทดลองได้

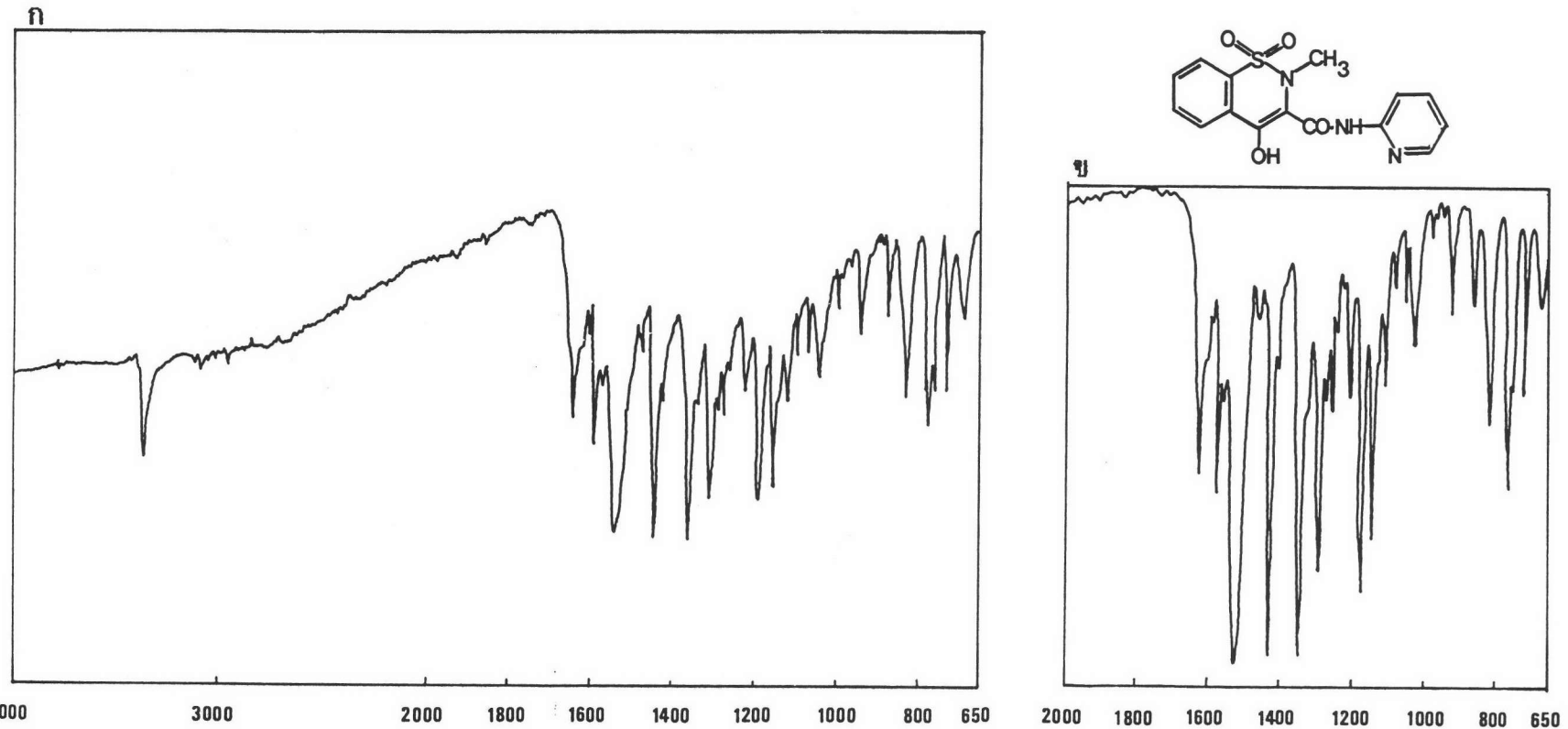
ข. เป็นสเปคตรัมอินฟราเรดอ้างอิง



รูปที่ 75 สเปกตรัมอินฟราเรดของพิโนลบีว่าโซน (KBr disc)

ก. เป็นสเปกตรัมอินฟราเรดที่กดลงไว้

ข. เป็นสเปกตรัมอินฟราเรดอ้างอิง



รูปที่ 76 สเปกตรัมอินฟราเรดของไพรอกซิแคม (KBr disc)

ก. เป็นสเปกตรัมอินฟราเรดที่ทดลองได้

ข. เป็นสเปกตรัมอินฟราเรดอ้างอิง

## ภาคผนวก ง.

1. การทดสอบความแตกต่างทางสถิติของค่าเบอร์เซนต์การศีนกลับของวิธีวิเคราะห์ยาต่างๆ เมื่อแยก plasma ปรตินด้วยแอซีโตในไตรล์และเมทานอล โดย 2-tailed unpaired student t-test เมื่อ  $t_{table}(\alpha 0.05, df 58) = 1.672$  และ  $t_{table}(\alpha 0.05, df 46) = 1.680$  (Johnson and Bhattacharyya, 1987)

1. ไดโคเลพีแนค

## ก. พื้นที่พื้นที่คยา

t-test for: RECOVERY

	Number of Cases	Mean	Standard Deviation	Standard Error	t_value	2-Tail Prob.
Gr. 1 (ACN)	30	94.0410	4.400	.803	-1.12	.267
Gr. 2 (MeOH)	30	95.4287	4.293	.779		

## ข. ความสูงพื้นที่คยา

t-test for: RECOVERY

	Number of Cases	Mean	Standard Deviation	Standard Error	t_value	2-Tail Prob.
Gr. 1 (ACN)	30	97.4860	5.063	.924	-2.24	.032
Gr. 2 (MeOH)	30	99.6840	1.836	.335		

2. ගලබනක්ලාමේත්

g. පින්ත්පිකියා

t-test for: RECOVERY

	Number of Cases	Mean	Standard Deviation	Standard Error	t_value	2-Tail Prob.
Gr. 1 (ACN)	24	94.2563	5.014	1.024	-.33	.741
Gr. 2 (MeOH)	24	94.6908	3.962	.809		

ii. គរණසුංපිකියා

t-test for: RECOVERY

	Number of Cases	Mean	Standard Deviation	Standard Error	t_value	2-Tail Prob.
Gr. 1 (ACN)	24	94.6475	5.181	1.058	-2.24	.031
Gr. 2 (MeOH)	24	97.4908	3.452	.705		

3. ไอโซปรีเพน

## ก. พื้นที่พื้นที่คยา

t-test for: RECOVERY

	Number of Cases	Mean	Standard Deviation	Standard Error	t_value	2-Tail Prob.
Gr.1 (ACN)	30	90.0337	4.044	.738	.46	.644
Gr.2 (MeOH)	30	89.4677	5.316	.971		

## ข. ความสูงพื้นที่คยา

t-test for: RECOVERY

	Number of Cases	Mean	Standard Deviation	Standard Error	t_value	2-Tail Prob.
Gr.1 (ACN)	30	87.6527	5.603	1.023	-1.03	.307
Gr.2 (MeOH)	30	89.0913	5.206	.950		

4. ค่าต่อไปนี้

ก. พื้นที่พิเศษ

t-test for: RECOVERY

	Number of Cases	Mean	Standard Deviation	Standard Error	t_value	2-Tail Prob.
Gr.1 (ACN)	30	97.6230	3.797	.693	-2.44	.019
Gr.2 (MeOH)	30	99.5823	2.226	.406		

ข. ความสูงพิเศษ

t-test for: RECOVERY

	Number of Cases	Mean	Standard Deviation	Standard Error	t_value	2-Tail Prob.
Gr.1 (ACN)	30	96.5067	3.592	.656	-3.83	.000
Gr.2 (MeOH)	30	99.4720	2.260	.413		

5. กรณีเพนนา米ค

ก. พื้นที่พื้นที่

t-test for: RECOVERY

	Number of Cases	Mean	Standard Deviation	Standard Error	t_value	2-Tail Prob.
Gr. 1 (ACN)	30	97.5693	2.590	.473	1.46	.149
Gr. 2 (MeOH)	30	96.1007	4.859	.887		

ข. ความสูงพื้นที่

t-test for: RECOVERY

	Number of Cases	Mean	Standard Deviation	Standard Error	t_value	2-Tail Prob.
Gr. 1 (ACN)	30	97.3850	3.401	.621	-1.56	.125
Gr. 2 (MeOH)	30	98.5860	2.500	.456		

6. นำไปร่าง

ก. ที่น้ำพิคยา

t-test for: RECOVERY

	Number of Cases	Mean	Standard Deviation	Standard Error	t_value	2-Tail Prob.
Gr. 1 (ACN)	30	86.3920	2.527	.461	-5.65	.000
Gr. 2 (MeOH)	30	92.1457	4.966	.914		

ข. ความสูงพิคยา

t-test for: RECOVERY

	Number of Cases	Mean	Standard Deviation	Standard Error	t_value	2-Tail Prob.
Gr. 1 (ACN)	30	82.6467	2.302	.420	-11.30	.000
Gr. 2 (MeOH)	30	92.7030	4.297	.785		

2. การทดสอบความแตกต่างทางสถิติของค่าเบอร์เชนท์การศีนกลับของวิธีเคราะห์ยาต่างๆ เมื่อแยกพลาスマโปรตีนด้วยสารละลายชิงค์ชัล เพตร่วมกับแอซีโตในไตรล์ และสารละลายชิงค์ชัล เพตร่วมกับเมทานอล โดย 2-tailed unpaired student t-test เมื่อ  $t_{table}(\alpha 0.05, df 58) = 1.672$  (Johnson and Bhattacharyya, 1987)

### 1. อินไดเมทาชิน

#### ก. พื้นที่ฟิคยา

t-test for: RECOVERY

	Number of Cases	Mean	Standard Deviation	Standard Error	t_value	2-Tail Prob.
Gr. 1(Zn <sup>++</sup> +ACN)	30	92.2477	2.942	.537	9.08	.000
Gr. 2(Zn <sup>++</sup> +MeOH)	30	99.2830	2.999	.642		

#### ข. ความสูงฟิคยา

t-test for: RECOVERY

	Number of Cases	Mean	Standard Deviation	Standard Error	t_value	2-Tail Prob.
Gr. 1(Zn <sup>++</sup> +ACN)	30	90.2377	4.082	.745	2.41	.019
Gr. 2(Zn <sup>++</sup> +MeOH)	30	93.1407	5.166	.943		

2. พิสูจน์ทางวิชาชีพ

## ก. พิสูจน์พิคายา

t-test for: RECOVERY

	Number of Cases	Mean	Standard Deviation	Standard Error	t_value	2-Tail Prob.
Gr. 1(Zn <sup>++</sup> +ACN)	30	96.9147	3.653	.667	-1.25	.217
Gr. 2(Zn <sup>++</sup> +MeOH)	30	98.0683	3.503	.640		

## ข. ความสูงพิคายา

t-test for: RECOVERY

	Number of Cases	Mean	Standard Deviation	Standard Error	t_value	2-Tail Prob.
Gr. 1(Zn <sup>++</sup> +ACN)	30	95.9520	4.783	.873	-1.22	.227
Gr. 2(Zn <sup>++</sup> +MeOH)	30	97.2227	3.089	.564		

## ประวัติผู้เขียน

นางสาวกนกรรษ จาลูกาจาร เกิดเมื่อวันที่ 9 ตุลาคม พ.ศ. 2510  
 ที่กรุงเทพมหานคร ศึกษาระดับมัธยมศึกษาจากโรงเรียนราชินีบัน กรุงเทพมหานคร  
 และสาเร็จการศึกษาขั้นบริบูรณ์ตรี เภสัชศาสตรบัณฑิต (เกียรตินิยมอันดับหนึ่ง) จาก  
 คณะเภสัชศาสตร์ มหาวิทยาลัยขอนแก่น เมื่อปีการศึกษา 2532

